

# 短寿命核による核物性

2/04/04 大阪大学大学院理学研究科 南園 忠則

## 1. はじめに

核・素粒子物理  $\leftrightarrow$  (核)物性研究  
短寿命核探索子の位置付け  
使用可能探索子; 30 核種 ( $Z \leq 21$ )

## 2. 短寿命核探索子の特徴

PAC、PAD、 $\mu$ SR、Mossbauer、 $\beta$ -NM(Q)R

## 3. 超微細相互作用

Damages、植込位置、格子緩和、相互作用、

## 4. 最近のトピックス

## 5. 組織 (User)

## 6. まとめ

### 共同研究者:

阪大理: 超微細相互作用、核構造、 $\beta$ 崩壊課程、偏極現象

南園忠則、松多健策、 福田光順、 三原基嗣、

南園啓 (TRIUMF)、炭竈聡之 (D3)、長友傑 (D2)、

小倉昌子 (D1)、

谷垣実 (京大熊取)、大坪隆 (新潟大)、泉川卓司 (新潟大)、

佐藤和則 (Jülich)、福田茂一 (若狭湾 I 核研)、

その他博士と修士課程卒業生大勢

有史初期: 超微細相互作用、核構造、偏極現象

杉本健三、溝渕 明、中井浩二 (東理大)、松田耕自 (日新)

大阪・放医研・LBL 共同研究関係: 不安定核反応偏極現象、核モーメント

北川敦志 (放医研)、野尻洋一 (高工大)、百田佐多生 (高工大)、

G. Langouche (Leuven・大阪 共同)

5. 組織; 物質科学 (HFI-User)

学内:

( $\beta$ -NMR); 南園忠則 (理・教授), 下田正 (理・教授),  
松多健策 (理・助教授), 福田光順 (理・助教授),  
出水秀明 (理・助手), 三原基嗣 (理・助手),  
南園啓 (TRIUMF: 海外特別研究員), 朱昇云 (北京 CIAE)

(電子バンド理論); 赤井久純 (理・教授), K. Slevin (理・助教授)  
吉田博 (産研・教授), 小谷岳生 (理・助手),

(MSパワ-、PAC); 那須三郎 (基礎工・教授),

森本正太郎 (基礎工・助手), 遠藤将一 (極限物質セ)

(NMR); 北岡良雄 (基礎工・教授)

(陽電子消滅); 斉藤直 (RIセ), 奥田修一 (産研), 白井泰治 (工)

関西から九州:

( $\beta$ -NMR); 野尻洋一 (高知工大), 百田佐多生 (高知工大),  
福田茂一 (若狭湾エネルギーセンター)

(PAC); 川瀬洋一 (京大原子炉), 大久保嘉高 (京大原子炉),  
谷垣実 (京大原子炉)

定期核物性研究会/年

(低温核整列/偏極); 大矢進 (新潟大理), 大坪隆 (新潟大理),  
泉川卓司 (新潟大 RI センター)

(レーザー); 松本征史 (京大化研)

(MSパワ-); 多数 (工学系; 材料)

関東近辺:

( $\beta$ -NMR); 旭耕一郎 (理研、東工大), 酒井健二 (理研),  
小川博嗣 (理研), 上野秀樹 (理研), 北川敦志 (放医研)

(PAC); 佐藤渉 (理研), 浅井吉蔵 (電気通信大), 鳥山保 (武蔵工),  
村松久和 (信大教育)

(On-Line MSパワ-); 吉田 (静岡工大), 小林 (理研)

(MSパワ-); 多数 (工学系; 材料)

電気を通す、通さない  
磁石にくっつく、つかない  
固い、柔らかい  
熱に強い、弱い  
光をとおす、通さない

→ 理解と制御

↓  
望ましい物質 の創製、への改良

起源（諸性質）：核を取り巻く電子

→ 原子を凝集させる電子状態  
(原子核ではない)

研究 ≡ 原子の配列 + 電子の状態

方法（古い）：

電場、磁場、力場の印可 ⇒ 応答を調べる

⇒ 電子状態解明困難

物質科学（最近）：構造材料、機能材料

基になる物質；

極微量不純物

格子欠陥

結晶粒界

表面、界面

→ 決め手！結晶の性質が決まる

これらの不連続点に電子が局在

超塑性セラミック、半導体、磁性材料

電子セラミック（バリスター）

酸化・硫化物光触媒（表面量子構造）

透明導電材料（不純物原子・点欠陥）

熱電変換材料・高性能2次電池電極

**高度技術化社会の基盤**

↓  
特異な量子構造を形成

↓  
共通性の高い括り方 ⇒

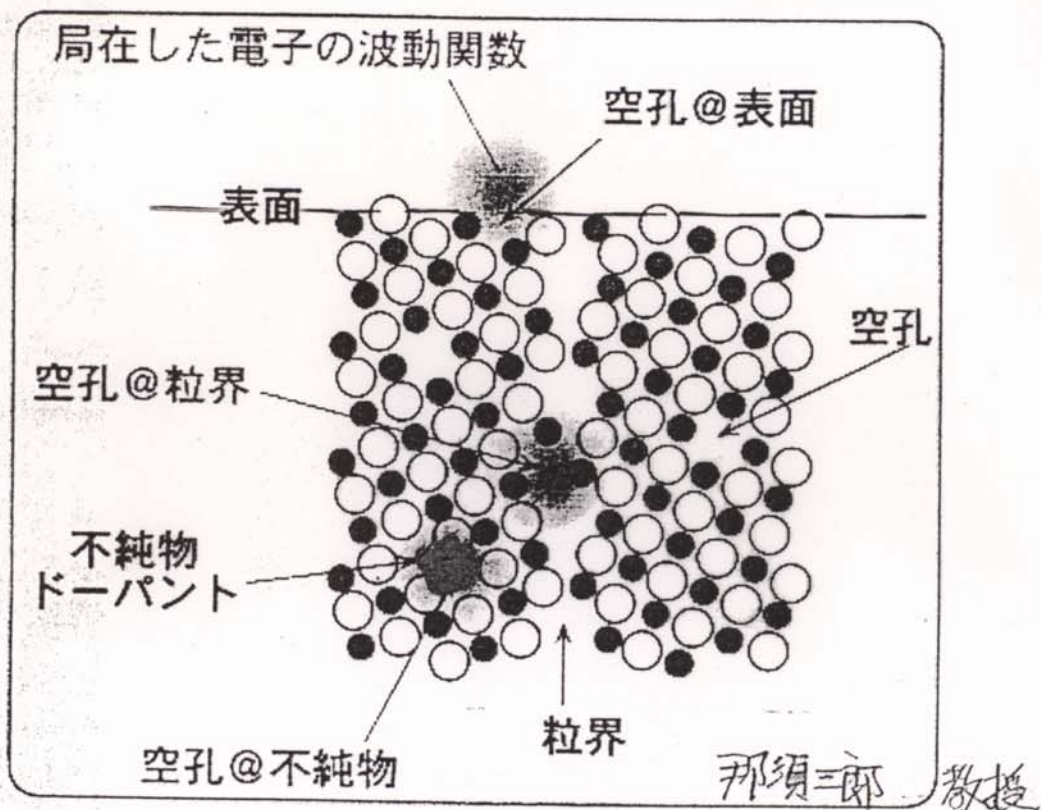
局在量子構造

局在量子構造：粒界、空孔、不純物、に局在する  
電子波動関数

↓  
物質の機能発現  
不純物や空孔を選択的に調べる

原子核を通じて  
空孔と選択的相互作用

↓  
電子状態を選択的に調べる可  
陽電子の崩壊  
：核物性的研究手段

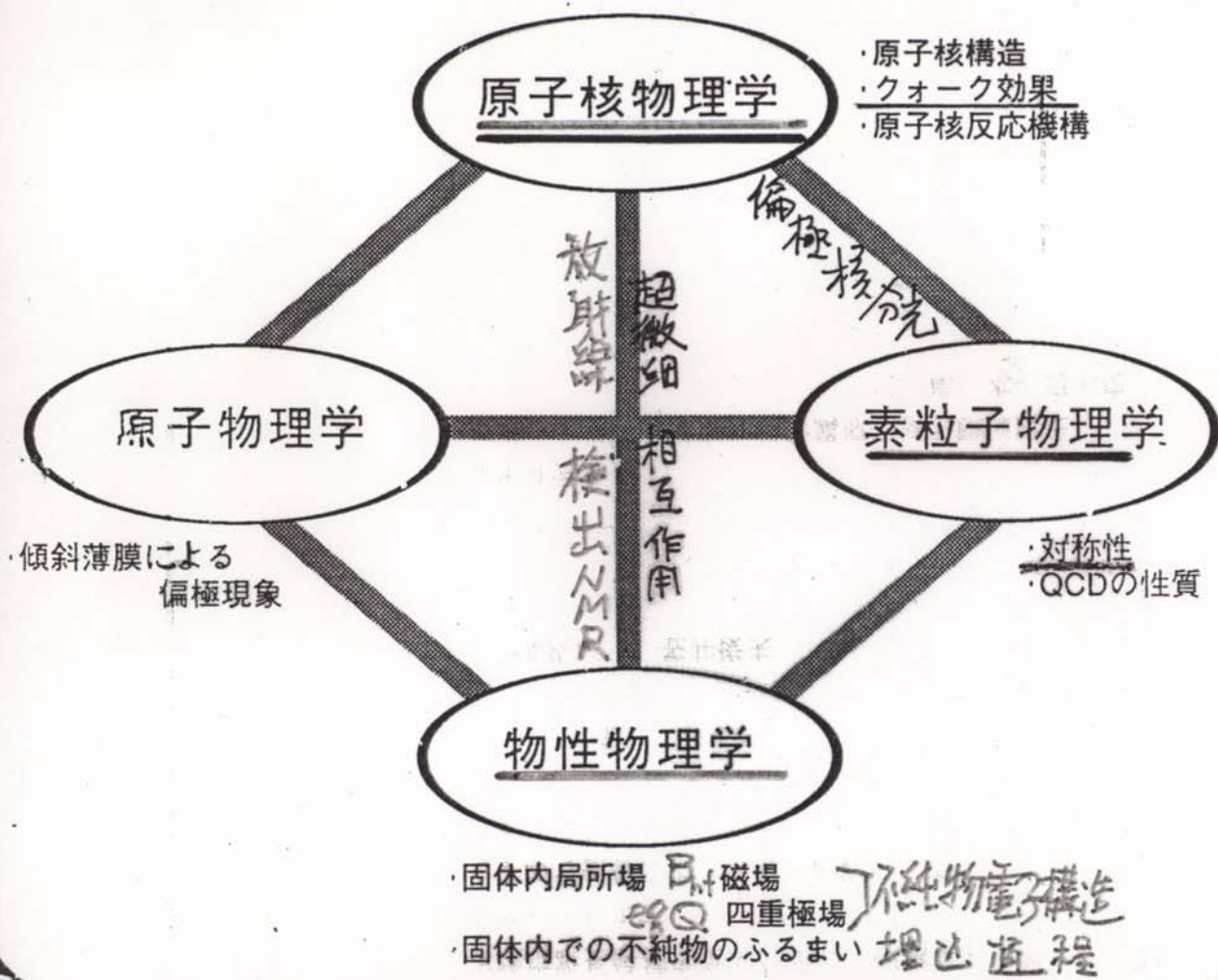


1. X線分光法 放射線・放射性同位元素使用
2. NMR(核磁気共鳴法)
3. NQR(核四重極共鳴法)
4. PAC(摂動角相関法) 放射線・放射性同位元素使用
5. PAD(摂動角分布法)
6.  $\mu$ SR( $\mu$ 粒子スピンの回転法) ←
7. PA(陽電子消滅法) 加速器不可欠
8. NMR-ON(核整列核磁気共鳴法) ↓
9.  $\beta$ -NMR,  $\beta$ -NQR( $\beta$ 線核磁気共鳴法)

(9. は阪大が開発した方法)

# 原子核実験

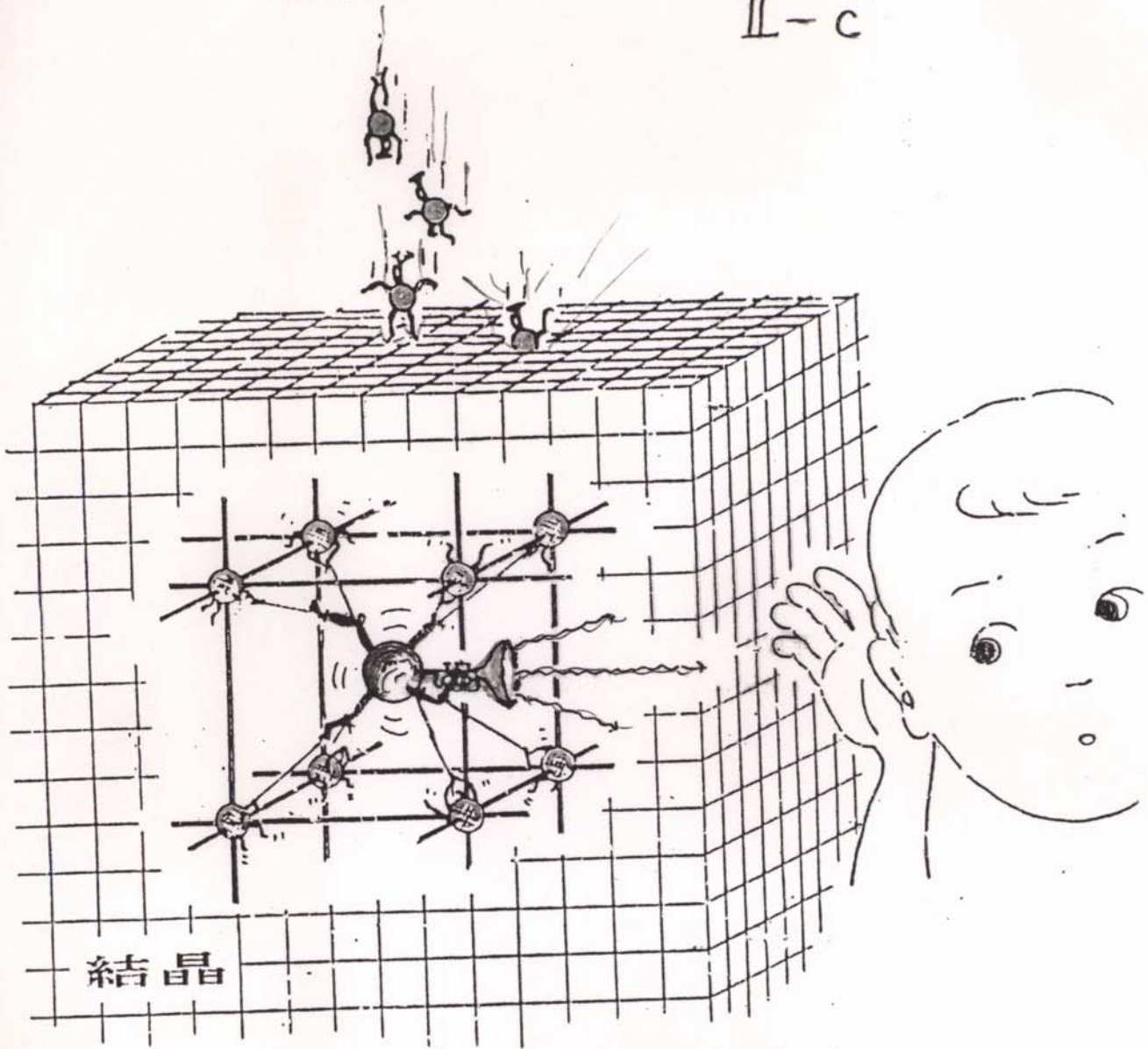
- \* ベータ崩壊
- \* ベータ線検出核磁気共鳴
- \* 高エネルギー重イオン反応
- \* 超微細構造相互作用



短寿命元素は結晶の中での「待遇」を放射線ですぐ知らせてくる。

同位元素ビーム

II-c



結晶

相互作用  
不純物電子構造  
物質構造(新物質)・解折的  
不確定核トランプ



物

性

核

希薄核・放射線検出  
NMR

放射線物質加工

不純物電子構造

機能性材料

オン・物質相互作用

新素材開発

放射化微量分析

放射線損傷と欠陥の動的力学

素材構造の分析的解明

超微細相互作用

メゾスコピック物理

放射線バイオ

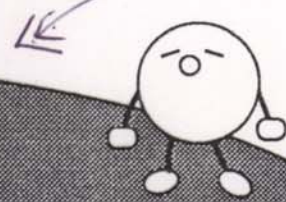
放射線検出超微細相互作用

半導体不純物の超微細相互作用

不安定核ビーム

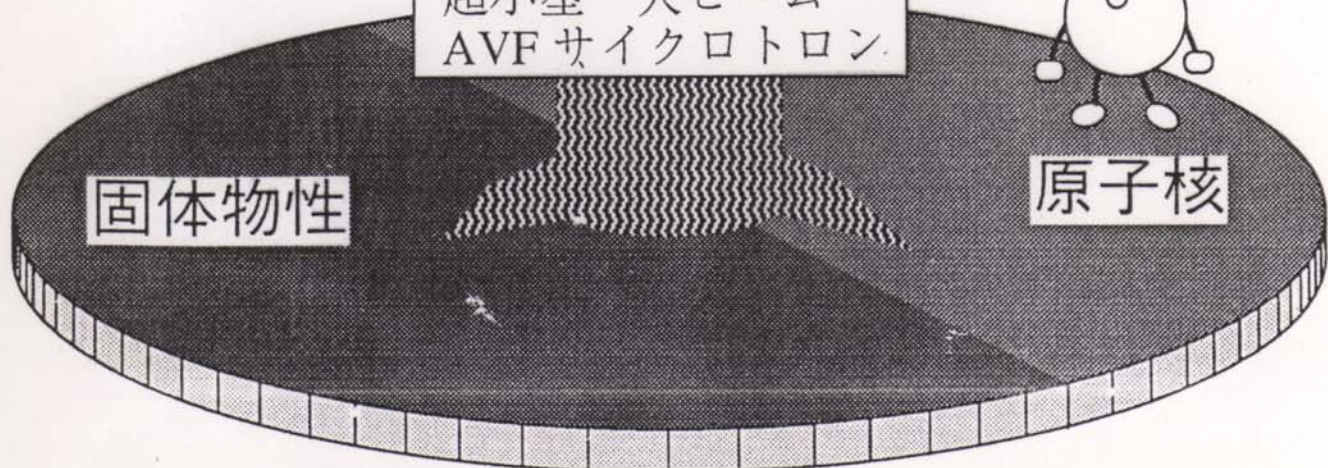
高エネルギー

超小型・大ビーム  
AVFサイクロトロン



固体物性

原子核



2.  $\beta$ -NMR &  $\beta$ -NQR  $\beta$ -Emitter で説明する

a  $\beta$ 線放射核の核反応による生成

b 反跳埋込み；結晶中へ

(標的からの引出し、ビーム化、格子間隙トラップ)

c スピン偏極生成、

$$\underline{P} = \sum (m P_m) / \sum P_m \cdot I$$

d 偏極の保持と検出、

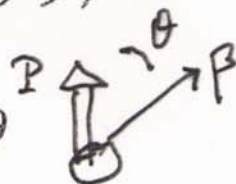
$$\underline{W}(\theta) = 1 + (v/c) A P \cos \theta$$

e 偏極の操作(NMR)、

偏極破壊法、

断熱的速い通過法、

新核四重極共鳴法、



実験装置 (模式図)

Time sequence program データの取方

結晶中  $\beta$  放射核の数(サイクル依存);  $R = \frac{U}{D}$ ,

位置(サイクル毎); 8-AP モード、

違いを消去;  $P = 0.1\%$  のレベルまで検出可

共鳴位置、幅、時間変化、

温度依存性、磁場依存性

; 物質の電子構造、

不純物の電子構造

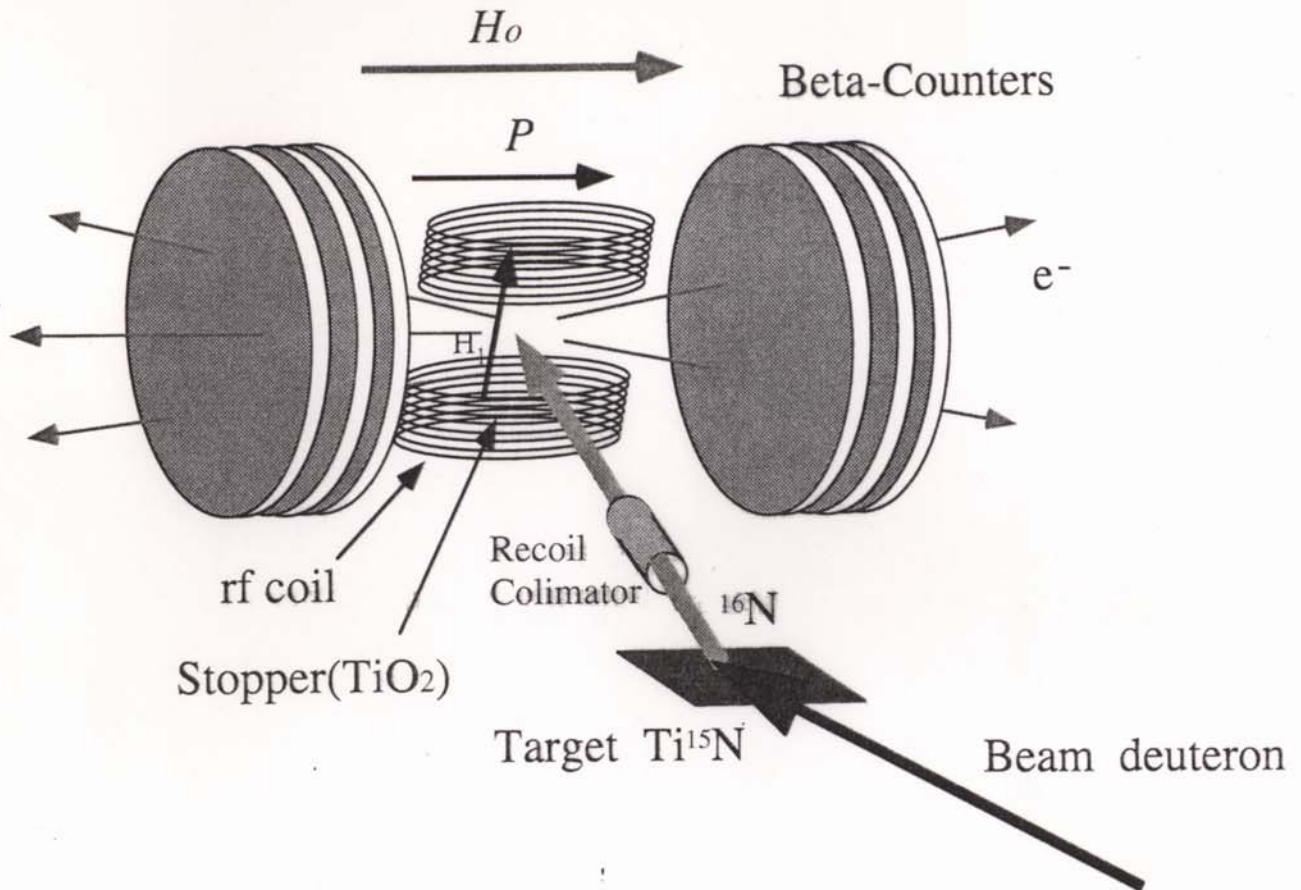
; 不純物の動的挙動

; 欠陥の動的挙動

# 実験概要

## $\beta$ -NMR 法

- 1) 偏極した不安定核の生成
- 2) 不安定核の植え込みと核偏極の保持
- 3) 核偏極の検出
- 4) 核スピン操作



## 実験条件

生成核  $^{16}N(I^{\pi}=2^-, T_{1/2}=7.13(2)\text{sec})$

核反応  $^{15}N(d,p)^{16}N$

ビーム deuteron 2.5(MeV)

反跳角度  $30 \pm 8^\circ$

外部磁場 7(kOe)

## 分離同位元素を使う特徴

核スピンと放射線 ( $\gamma$ ,  $\beta$ 線) との相関を取る。

### 相関型の研究

その特長:

#### 放射線で検出するから

感度が高い (Analyzing power 大きい  $\approx 1$ ): 稀薄な純物  
検出が容易である。簡単に作れる。  $n < 10^{12}/\text{cm}^3$

強弱極化: 不純物-host 組合せ任意

放射線で偏極を検出するための核種への要求、

寿命: nano sec  $\leftrightarrow$  1  $\mu$  sec:  $\gamma$ 線検出による。

寿命: mili sec  $\leftrightarrow$  100 sec:  $\beta$ 線検出による。

↑

↑

摂動検出      スピン偏極保持

$\beta$ 線エネルギー、数 MeV以上、

偏極又は整列を生成できる; P, A = 数% 以上。

#### 植え込み深さ

|                                      |   |        |
|--------------------------------------|---|--------|
| $\sim 1 \text{ MeV/A}$ ( $A < 40$ )  | depth. $< 2 \mu\text{m}$                    | ハンテ    |
| $\sim 50 \text{ keV/A}$ ( $A < 40$ ) | depth. $\sim 1500 \pm 700 \text{ Angstrom}$ | Isolde |
| $\sim 100 \text{ MeV/A}$             | depth. $\sim 1 \text{ mm}$                  | 今回     |

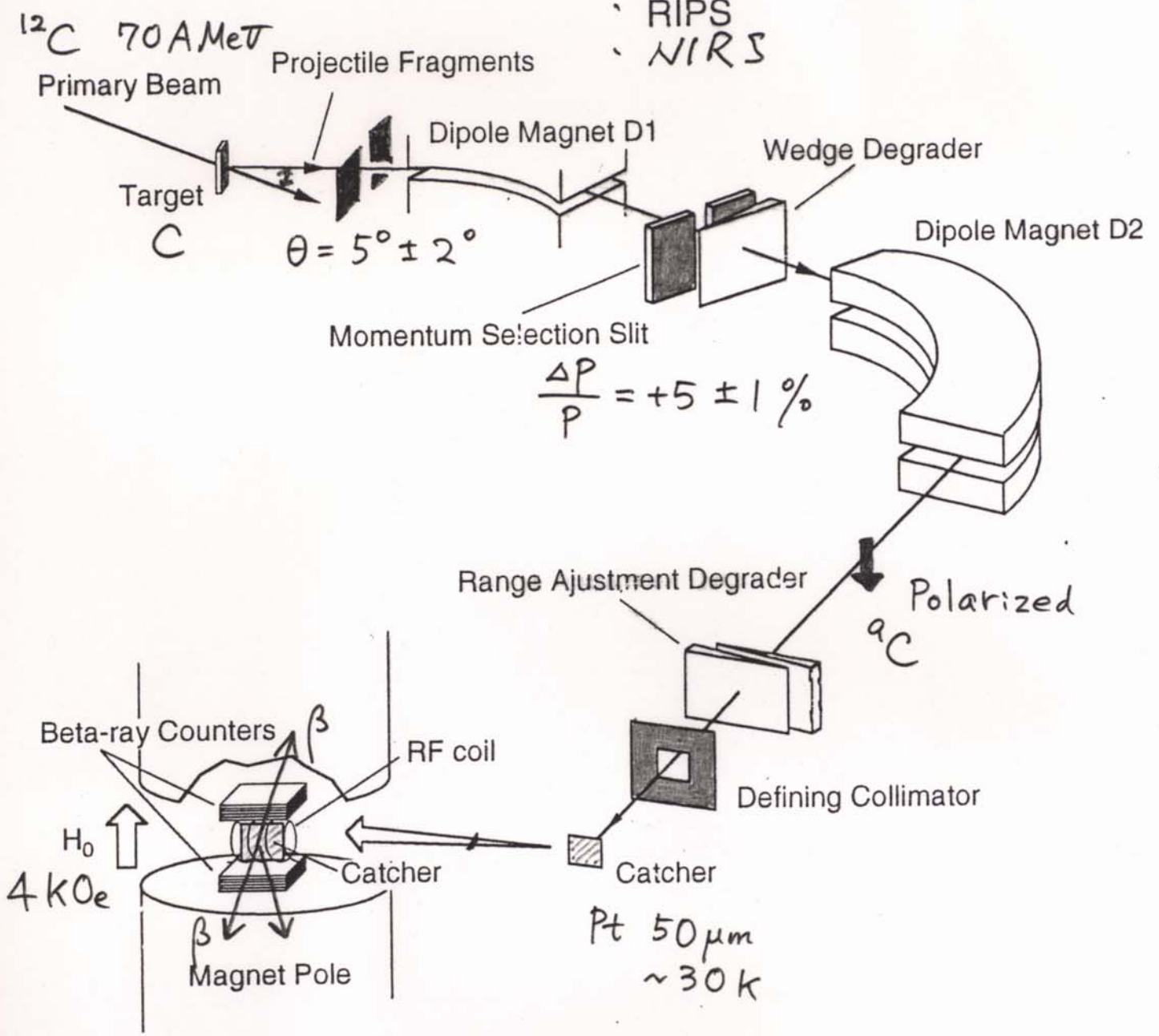
注意点: 結晶表面、真空、温度、

高電圧実験台 (H. V. Platform; 100 kV?) !

Deep Implantation 必要なとき

Deep Impl. に最適

- BEVALAC
- RIPS
- NIRS



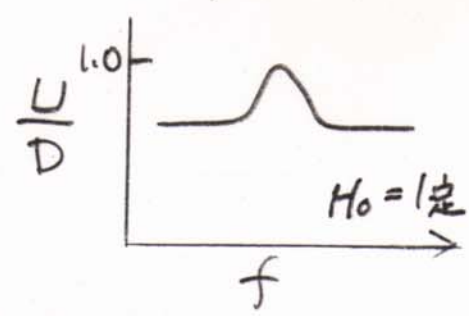
$$W(\theta) \propto 1 + A P \cos \theta$$

$\beta$ -NMR

$\omega_L$

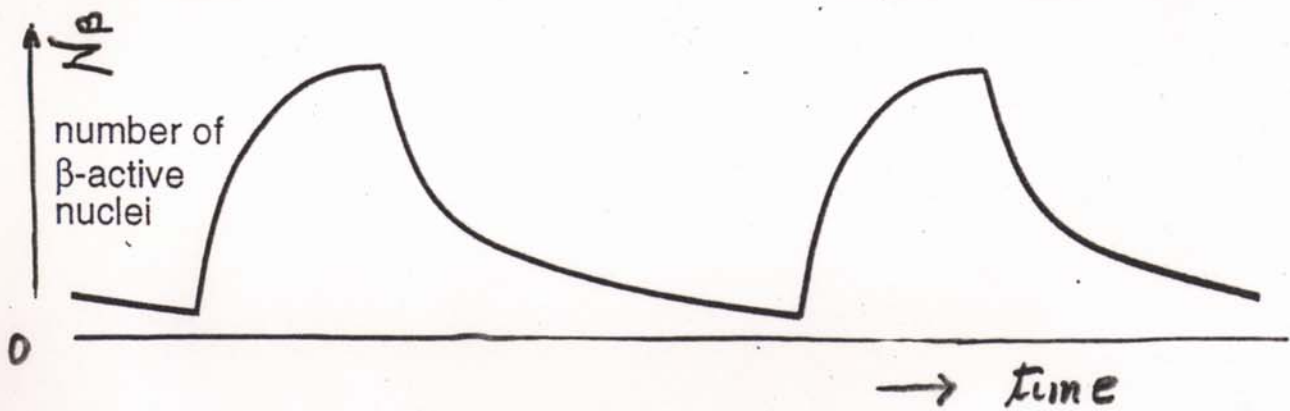
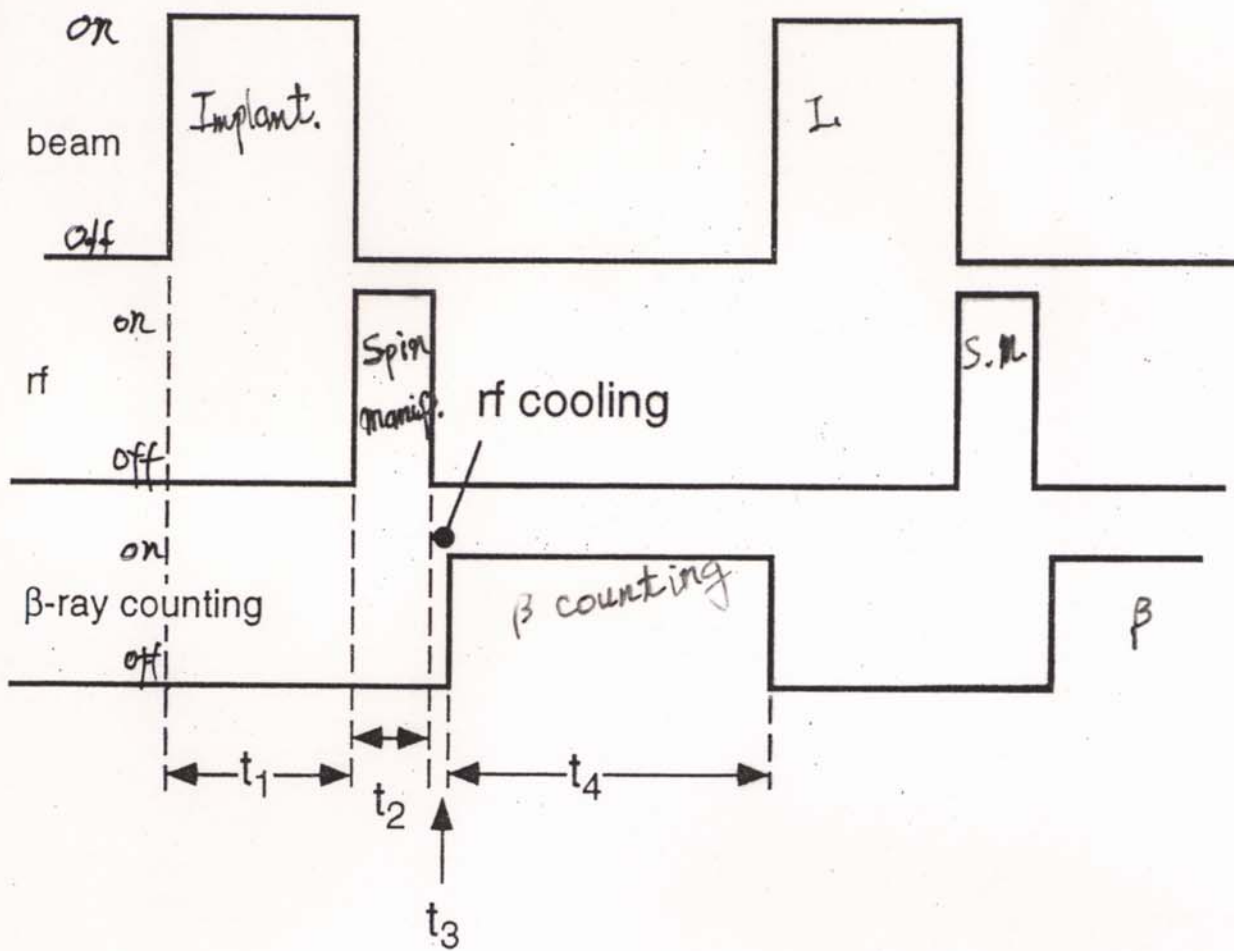
$\delta$

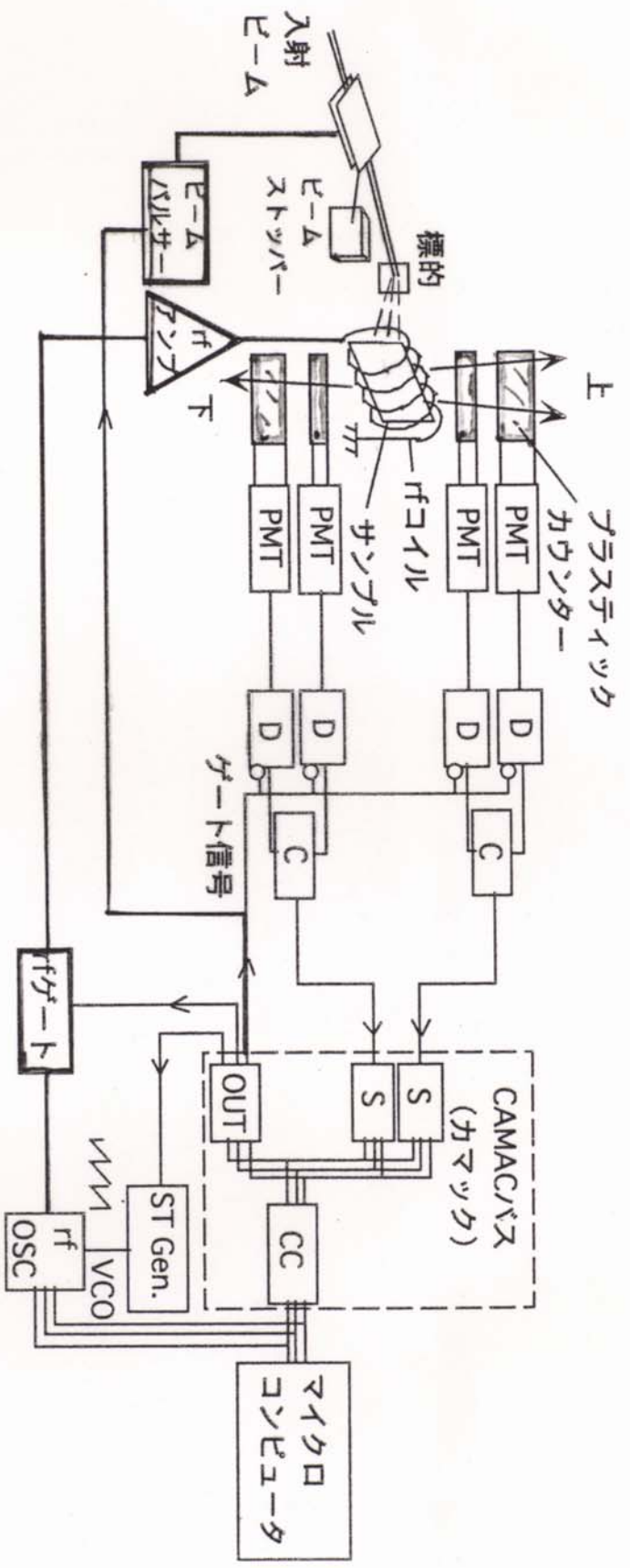
$T_1$



# Pulsed Beam Technique

Time sequence program for the  $\beta$ -NMR detection.





- PMT: 光電子増倍管     D: デイスクリミネータ     C: コインシデンス
- S: スケーラー         OUT: ビット出力ポート     CC: CAMACコントローラ
- ST Gen.: 鋸歯状波発生器     rf OSC: 高周波発振器

表 1.  $\beta$ -Emitters used for  $\beta$ -NMR

| $I^\pi$                           | $T_{1/2}$ | Reaction  | $\mu(\mu_N)$ & $Q(\text{mb})$      | Sample  |
|-----------------------------------|-----------|---|------------------------------------|---|
| $^8\text{Li}$ 2 <sup>+</sup>      | 0.84s     | $^7\text{Li}(\text{d,p}), ^7\text{Li}(\text{d,p})$            | $\mu = +1.65335, Q = 32.7(6)$      | Li, LiF, LiIO <sub>3</sub> , LiNbO <sub>3</sub> , LiIO <sub>3</sub> |
| $^8\text{B}$ 2 <sup>+</sup>       | 0.56s     | $^6\text{Li}(\tau, n)$  | $\mu = 1.0355(3), Q = 68.3(21)$    | Pt, Mg(x), BN(X)  |
| $^{12}\text{B}$ 1 <sup>+</sup>    | 21ms      | $^{11}\text{B}(\text{d,p})$ $^{11}\text{B}(\vec{d}, p)$       | $\mu = 1.00306(15), Q = 13.20(25)$ | Pt, Mg(X), BN(X), fcc & bcc M.                                      |
| $^{12}\text{C}$ 3/2 <sup>-</sup>  | 126ms     | $^{12}\text{C}(\text{p.f.})$                                  | $\mu = 1.3914(5), Q =$             | Pt,   |
| $^{12}\text{N}$ 1 <sup>+</sup>    | 11ms      | $^{10}\text{B}(\tau, n)$                                      | $\mu = 0.4573(5), Q = 10.3(7)$     | Pt, Mg(x), BN(X), fcc & bcc M., GaN                                 |
| $^{16}\text{N}$ 2 <sup>-</sup>    | 7.1s      | $^{15}\text{N}(\text{d,p})$                                   | $\mu = 2.049(6), Q = 20(3)$        | TiO <sub>2</sub> , GaN, TiO <sub>2</sub>                            |
| $^{13}\text{O}$ 3/2 <sup>-</sup>  | 8.6ms     | $^{16}\text{O}(\text{p.f.})$                                  | $\mu = 1.3891(3), Q = 11.0(1.3)$   | Pt, TiO <sub>2</sub>  |
| $^{15}\text{O}$ 1/2 <sup>-</sup>  | 122s      | $^{14}\text{N}(\text{d,n})$                                   | $\mu = 0.71951(12)$                | TiO <sub>2</sub>  |
| $^{19}\text{O}$ 5/2 <sup>+</sup>  | 27s       | $^{18}\text{O}(\text{d,p})$                                   | $\mu = 1.53195(7), Q = 3.7(4)$     | Pt, TiO <sub>2</sub>  |
| $^{17}\text{F}$ 5/2 <sup>+</sup>  | 66s       | $^{16}\text{O}(\text{d,n})$                                   | $\mu = 4.72130(25), Q = 100(20)$   | NaF(X), CaF <sub>2</sub> (X), MgF <sub>2</sub> (X)                  |
| $^{20}\text{F}$ 2 <sup>+</sup>    | 11.0s     | $^{19}\text{F}(\text{d,p})$                                   | $\mu = 2.0935(9), Q = 64(2)$       | NaF(X), CaF <sub>2</sub> (X), MgF <sub>2</sub> (X)                  |
| $^{21}\text{F}$ 5/2 <sup>+</sup>  | 4.158s    | $^{22}\text{Ne}(\text{p.f.})$                                 | $\mu = 3.9304(30), Q = 178(10)$    | NaF(X), CaF <sub>2</sub> (X), MgF <sub>2</sub> (X)                  |
| $^{23}\text{Mg}$ 3/2 <sup>+</sup> | 11s       | $^{24}\text{Mg}(\text{p.f.})$                                 | $\mu = 0.5364(3), Q =$             | Pt, MgF <sub>2</sub> (X)  |
| $^{25}\text{Al}$ 5/2 <sup>+</sup> | 4.8s      | $^{28}\text{Si}(\vec{p}, \alpha)$                             | $\mu = 3.6455(12), Q =$            | Si(X)   |
| $^{28}\text{Al}$ 3 <sup>+</sup>   | 134s      | $^{27}\text{Al}(\vec{n}, \gamma), ^{27}\text{Al}(\text{d,p})$ | $\mu = 2.791(1), Q =$              | AlP(X), Li(dynamic pol.)  |
| $^{27}\text{Si}$ 5/2 <sup>+</sup> | 4.1s      | $^{27}\text{Al}(\vec{p}, n), ^{28}\text{Si}(\text{p.f.})$     | $\mu = 0.8653(3), Q = 63(14)$      | Pt, Sapphire(X)   |
| $^{29}\text{P}$ 1/2 <sup>+</sup>  | 4.2s      | $^{28}\text{Si}(\text{d}\&\text{d}, n)$                       | $\mu = 1.2349(3)$                  | Si(X), Red P  |
| $^{31}\text{S}$ 1/2 <sup>+</sup>  | 2.6s      | $^{31}\text{P}(\vec{p}, n)$                                   | $\mu = 0.48793(8)$                 | Red P, P <sub>4</sub> S <sub>7</sub>                                |
| $^{35}\text{Ar}$ 3/2 <sup>+</sup> | 1.775s    | $^{40}\text{Ca}(\text{p.f.})$                                 | $\mu = +0.6331(6), Q =$            | KBr   |
| $^{37}\text{K}$ 7/2 <sup>-</sup>  | 1.23s     | $^{40}\text{Ca}(\text{p.f.})$                                 | $\mu = +0.20321(6), Q =$           | KBr   |
| $^{39}\text{Ca}$ 3/2 <sup>+</sup> | 0.6s      | $^{39}\text{K}(\vec{p}, n), ^{40}\text{Ca}(\text{p.f.})$      | $\mu = 1.02168(12), Q = 36(7)$     | KBr, KCaBr <sub>3</sub> , CaCO <sub>3</sub>                         |
| $^{41}\text{Sc}$ 7/2 <sup>-</sup> | 0.54s     | $^{40}\text{Ca}(\text{d}, n)$                                 | $\mu = 0.54305(18), Q = 150(4)$    | CaO(X), Pt(4.2K), TiO <sub>2</sub>                                  |
| $^{43}\text{Ti}$ 7/2 <sup>-</sup> | 0.85s     | $^{46}\text{Ti}(\text{p.f.})$                                 | $\mu = 0.85(2), Q =$               | Pt  |

→ pol. beams

Projectile Fragmentation processTISOL at TRIUMF  
E.ARENA

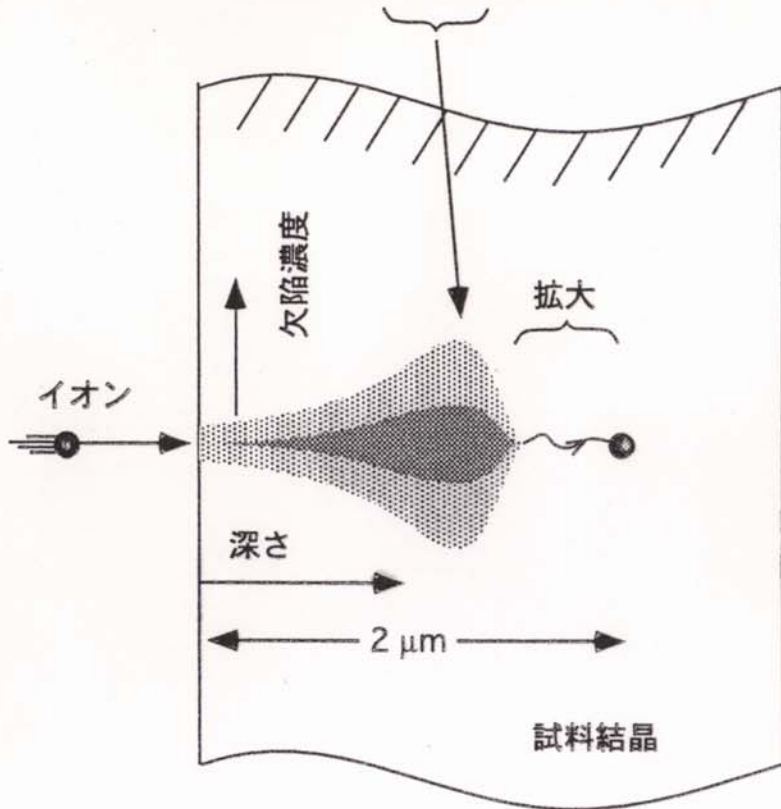
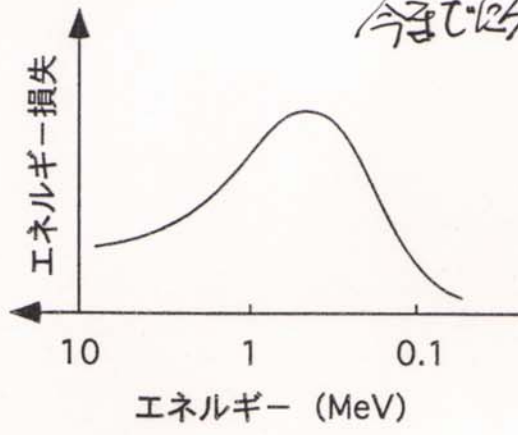
} : TARGET FRAGMENTS

+  
LASER Ind. Spin Pol.

有用: 手元に発散

↓ Fe, Ni まで欲しい!

今更に分、右、停止位置近傍の振舞い。



核スピンで見ると

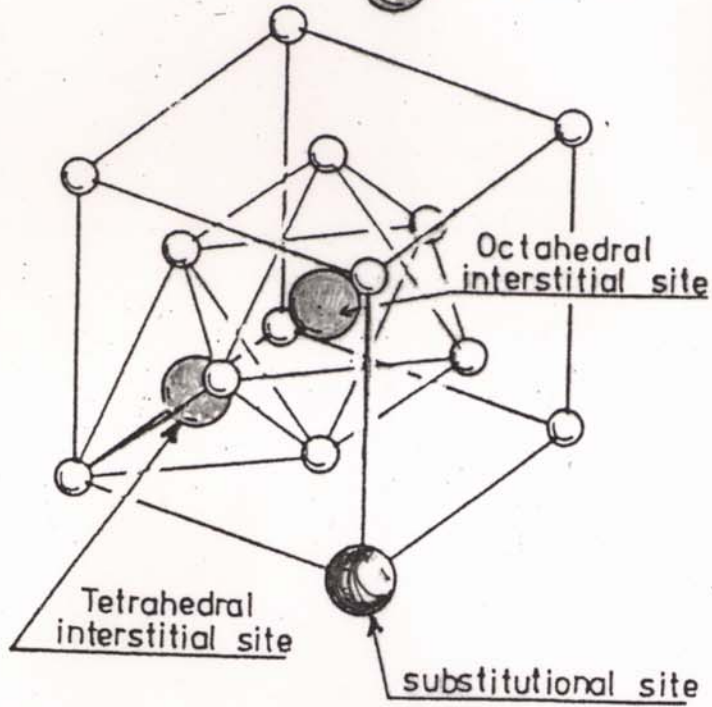
$\mu\text{He}^+$ ,  $\mu\text{H}_f$ ,  $e^+$ ,  $Q$

$g_L^+$ ,  $g_d$

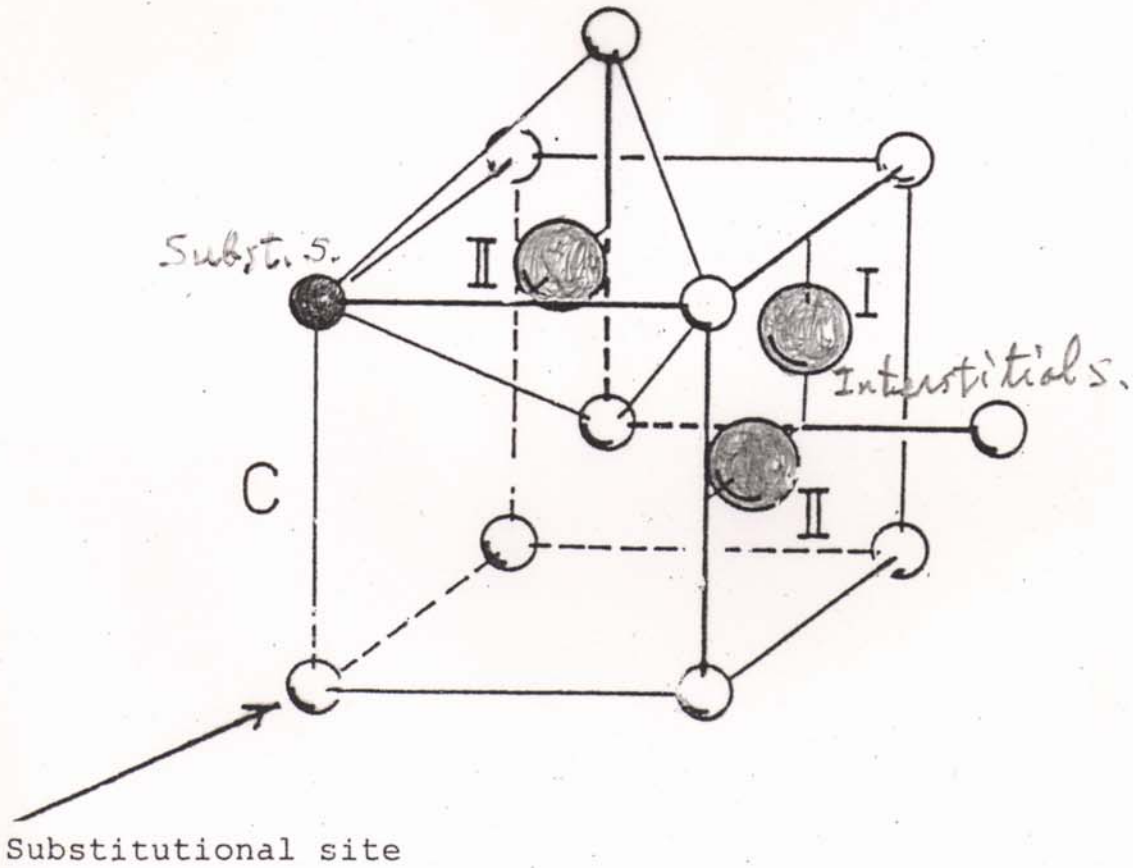
ポテンシャル最深の位置に  
fcc Metal

○ : Host  
● : Impurity

結晶



bcc Metal

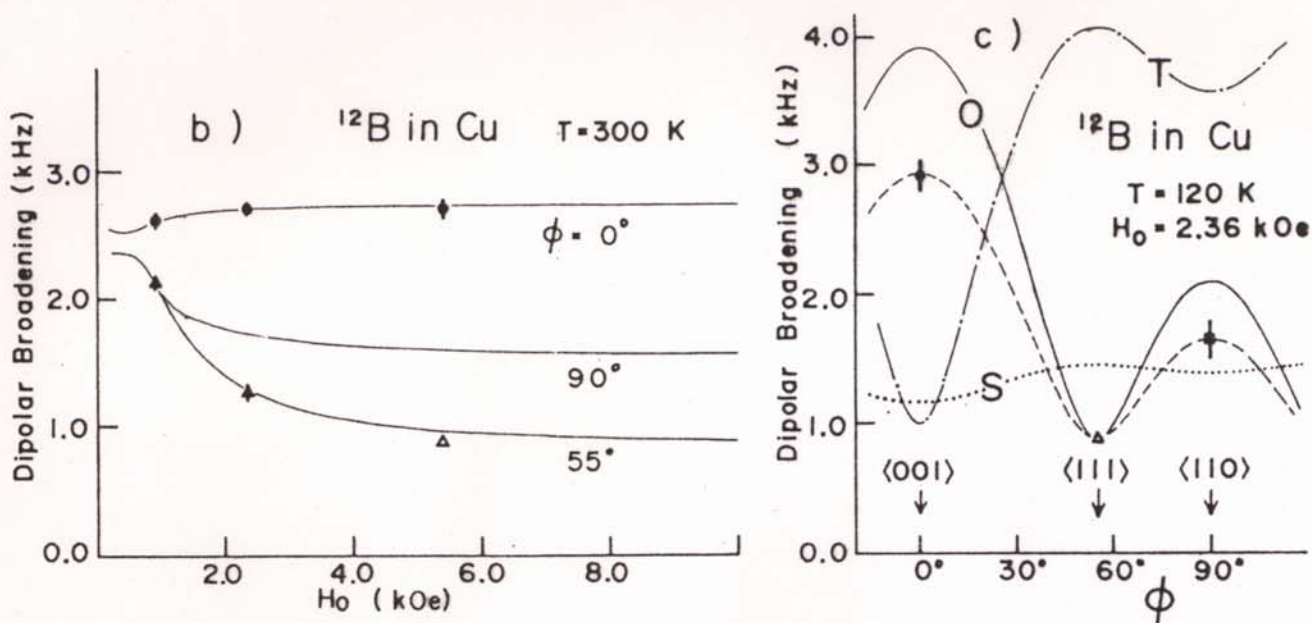


117-  
2001  
92

決定方法：・・・双極子幅  $f(H \angle c \text{ axis}, H) \delta(\theta, H)$

・・・核四重極分離  $f(H \angle q)$  と双極子幅(二量子吸収)  $\nu_d(\theta)$

双極子相互作用、 $(2\pi\sigma_{VV})^2 = \gamma_I^2 \gamma_S^2 \hbar^2 S(S+1) \sum_i (3 \cos^2 \alpha_i - 1)^2 / 3r_i^6$ ,



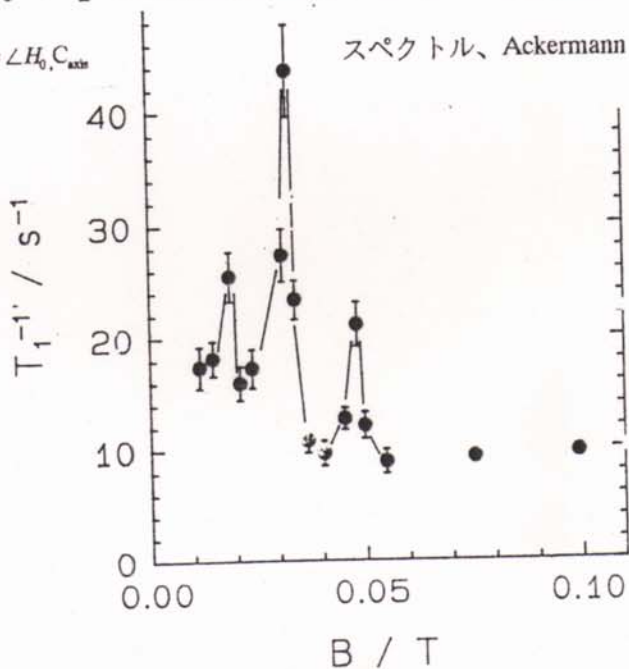
・・・Spin diffusion 法

$H_0$  と埋込核による  $q_{\text{host}} \Rightarrow$  host 核のエネルギー順位と

$\downarrow \uparrow$  等しい時スピン交換

埋込核自身の  $H_0 + q$  によるエネルギー順位

観測；  $P^{\text{AV}}(H_0, \theta)$ 、  $\theta = \angle H_0, C_{\text{axis}}$



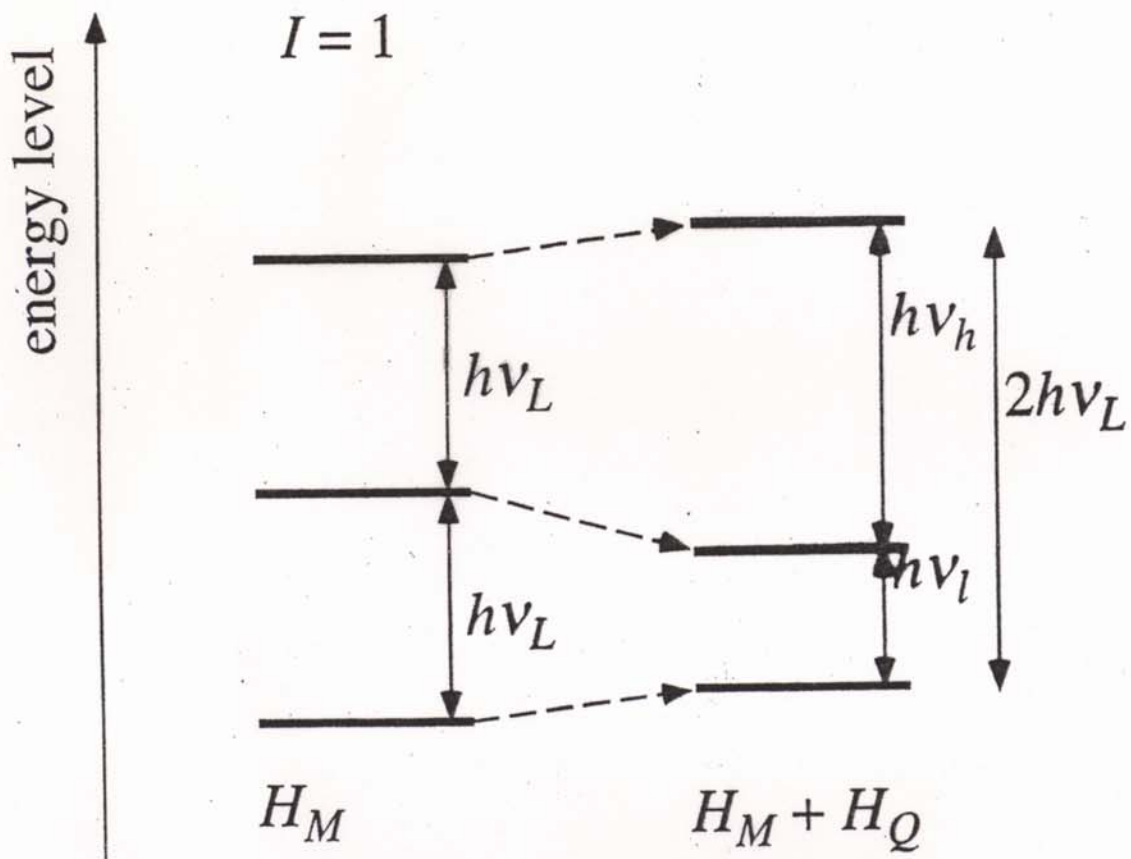
NMR (nuclear magnetic resonance)

magnetic interaction

$$H_M = -\vec{\mu} \cdot \vec{H}_0$$

electric quadrupole interaction

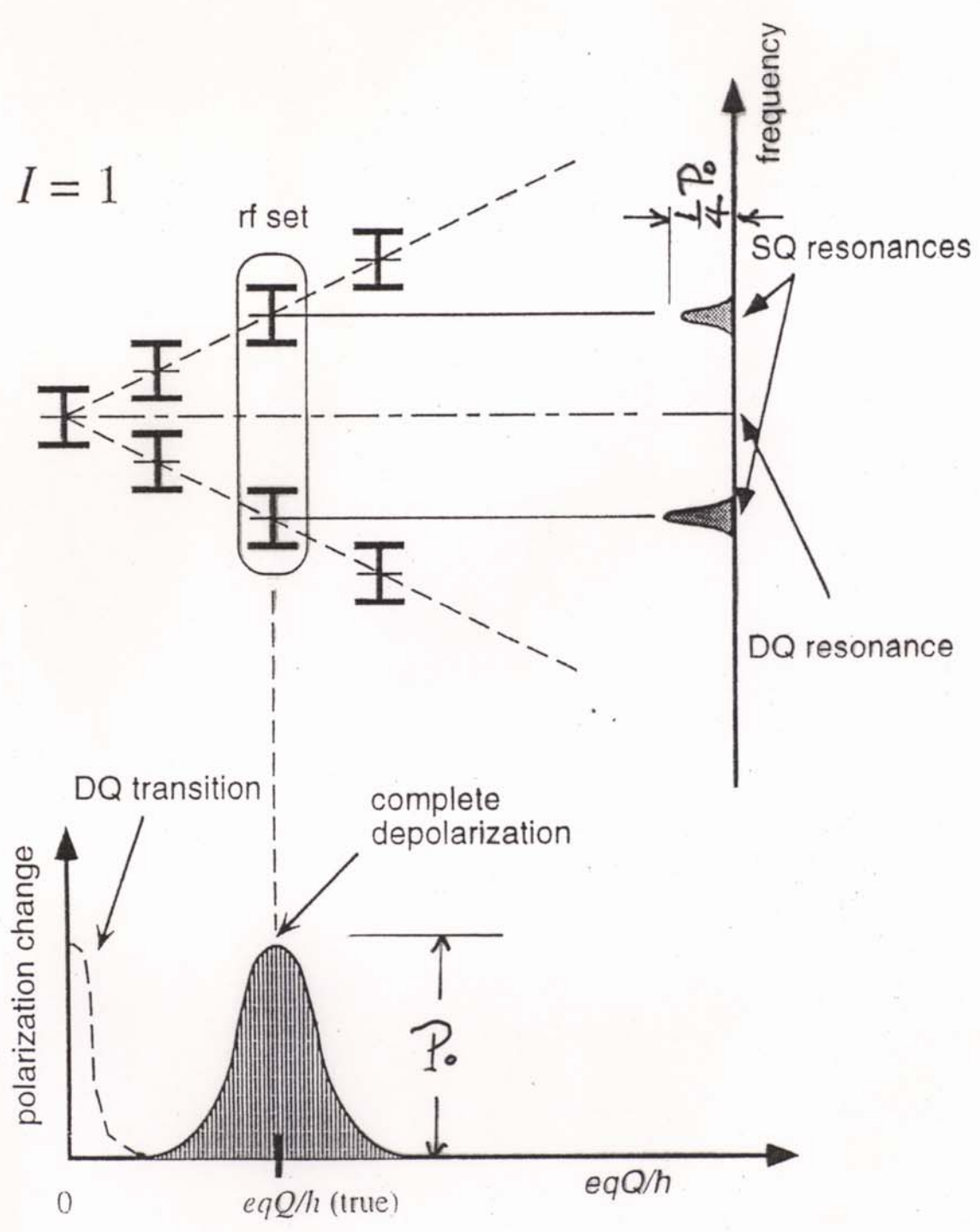
$$H_Q = \frac{eqQ}{4I(2I-1)} \left\{ 3I_z^2 - I(I+1) + \frac{\eta}{2}(I_+^2 + I_-^2) \right\}$$

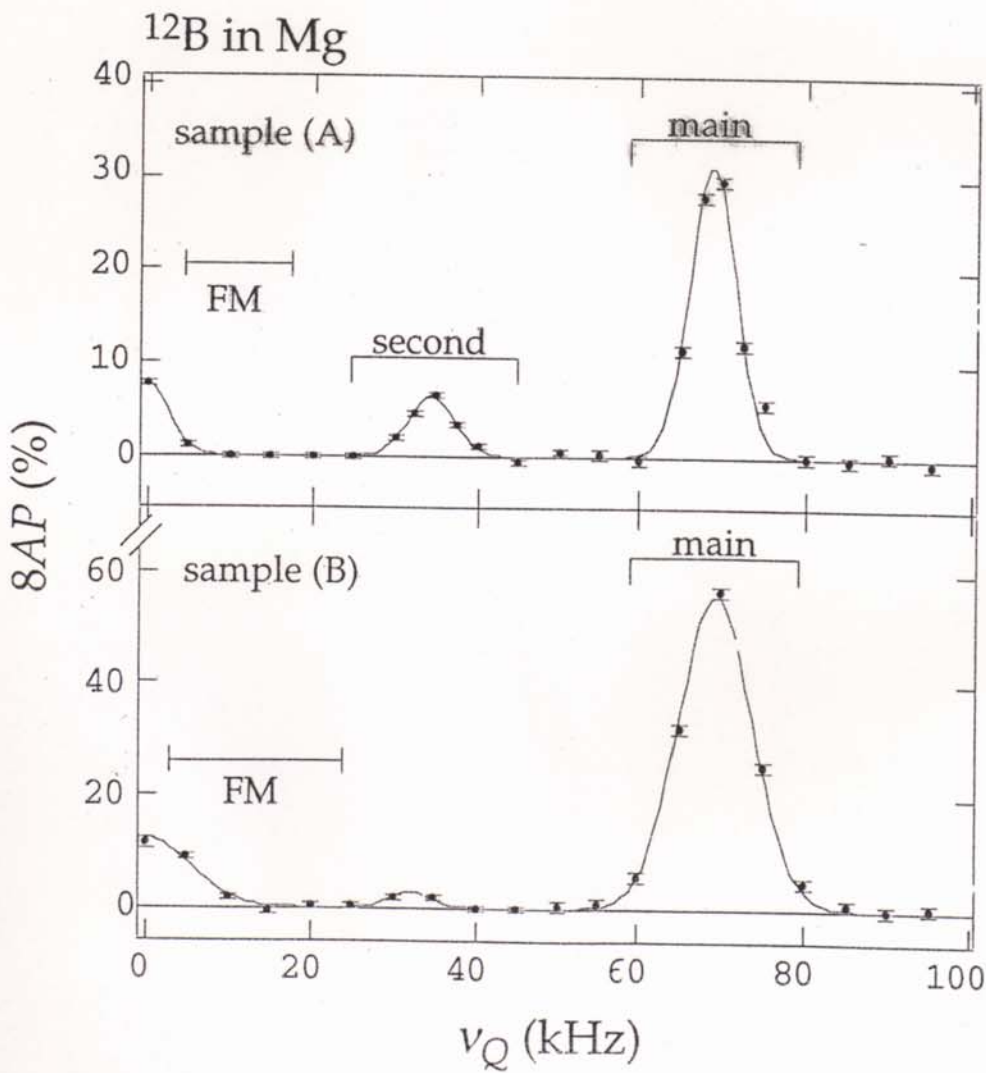
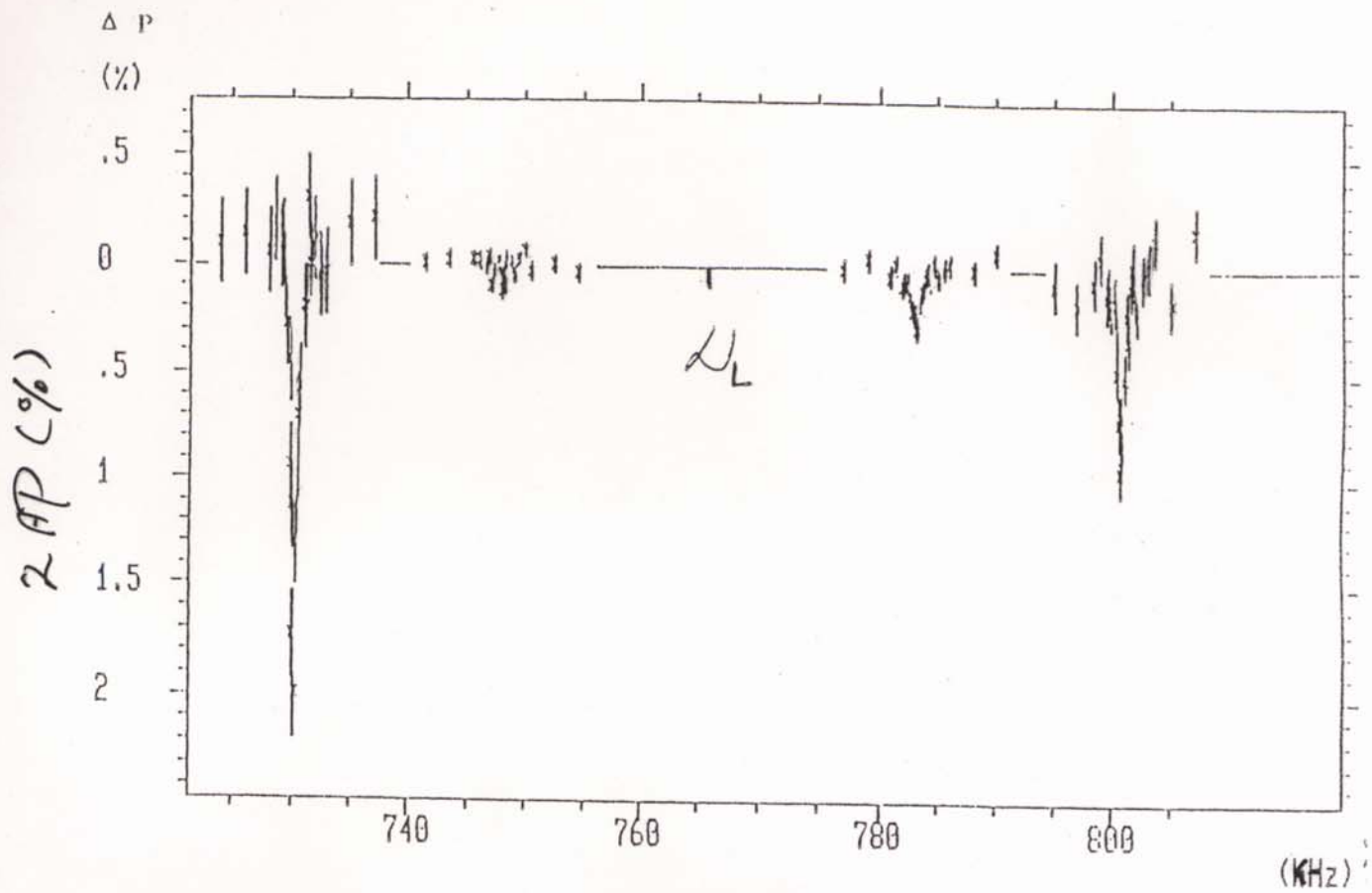


$$h\nu_L = \gamma_N \hbar H_0$$

$$H_M \gg H_Q$$

$\beta$   
~~NNQR~~ ( <sup>$\beta$</sup> New Nuclear Quadrupole Resonance)  
 method





New Nuclear  
Quadrupole Res.

## Location of $^{12}\text{B}$ and $^{12}\text{N}$ in Metal Crystals

| Host        | Location            | $^{12}\text{B}$ |                  | $^{12}\text{N}$ |                           |
|-------------|---------------------|-----------------|------------------|-----------------|---------------------------|
|             |                     | Popul.          | ( $\Delta a/a$ ) | Popul.          | ( $\Delta a/a$ )          |
| Cu<br>(fcc) | Interstitial Octah. | 85 %            | <u>0.11(2)</u>   | 100             | <u>0.13(6)</u>            |
|             | Tetrah.             | $\leq 1$        |                  | $\leq 1$        |                           |
|             | Substitutional      | 15              | <u>0.00(3)</u>   | $\leq 1$        | <u>0.00(5)</u>            |
| Ni<br>(fcc) | Interstitial Octah. | 85 %            |                  | 100             | Compr. with theor.        |
|             | Tetrah.             | $\leq 1$        |                  | $\leq 1$        |                           |
|             | Substitutional      | 15              |                  | $\leq 1$        |                           |
| V<br>(bcc)  | Interstitial Octah. | $\leq 1\%$      |                  | $\leq 1$        |                           |
|             | Tetrah.             | 75              | <u>0.21(4)</u>   | 100             | <u>0.50(20)</u>           |
|             | Substitutional      | 25              | <u>0.00(5)</u>   | $\leq 1$        | <u>0.00(5)</u>            |
| Ta<br>(bcc) | Interstitial Octah. |                 |                  |                 |                           |
|             | Tetrah.             | 75              |                  |                 |                           |
|             | Substitutional      | 25              |                  |                 |                           |
| Fe<br>(bcc) | Interstitial Octah. |                 |                  |                 | From $^{12}\text{B}$ in V |
|             | Tetrah.             | 80              |                  | **              | Two Loc. Found            |
|             | Substitutional      | 20              |                  | **              |                           |
| Mg<br>(hcp) | Interstitial        |                 |                  |                 |                           |
|             | Center of Prism     | 100(5)          |                  | 100(5)          |                           |
|             | Substitutional      | $\leq 1$        |                  | $\leq 1$        |                           |

### 3. Dynamics of Implanted Light Ions in Crystals

-  $^{12}\text{B}$  in Si Crystal -

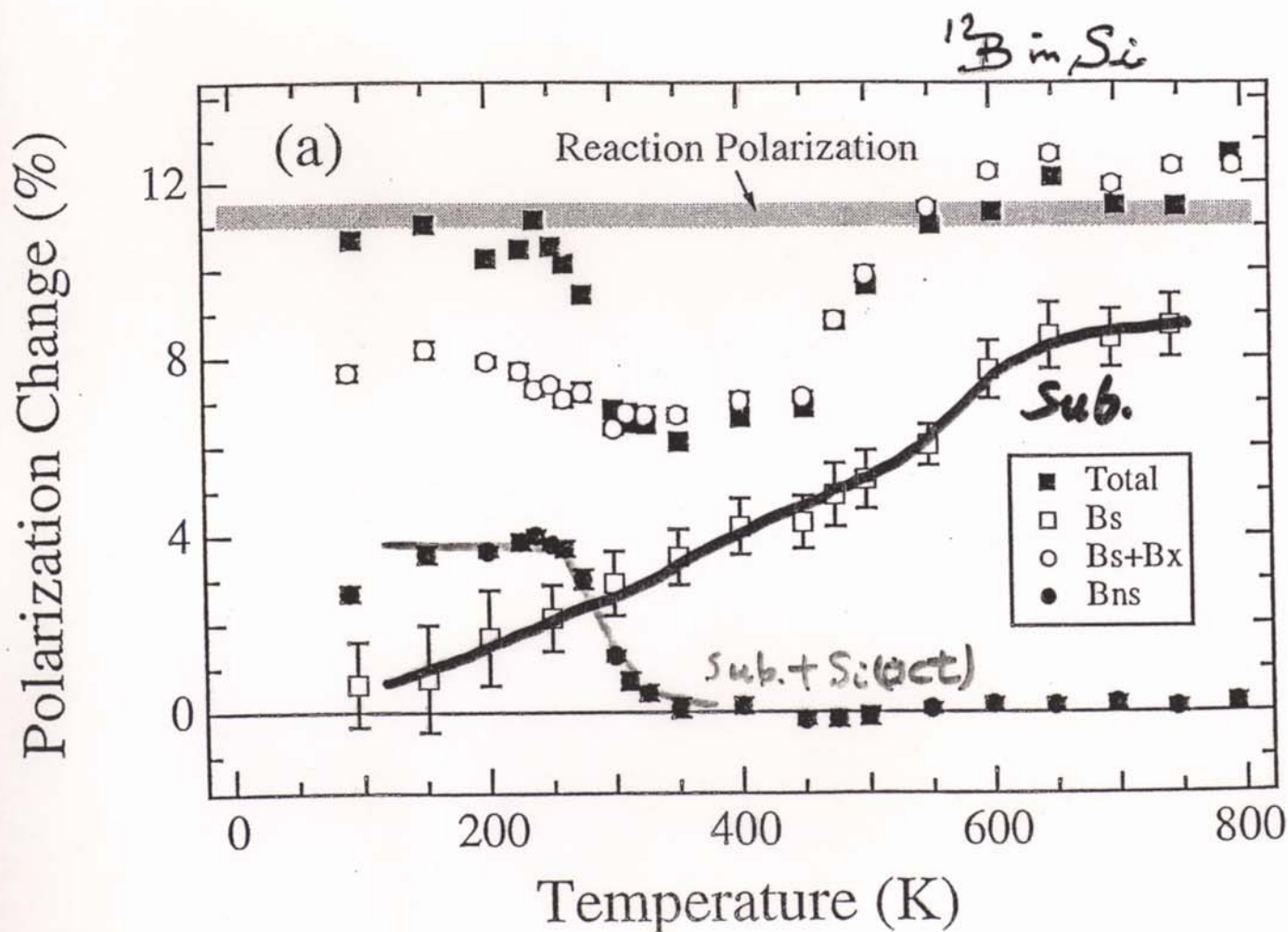
T. Izumikawa; Thesis, March 1999 (Osaka U.)

Location: Interstitial

Substitutional

Other?

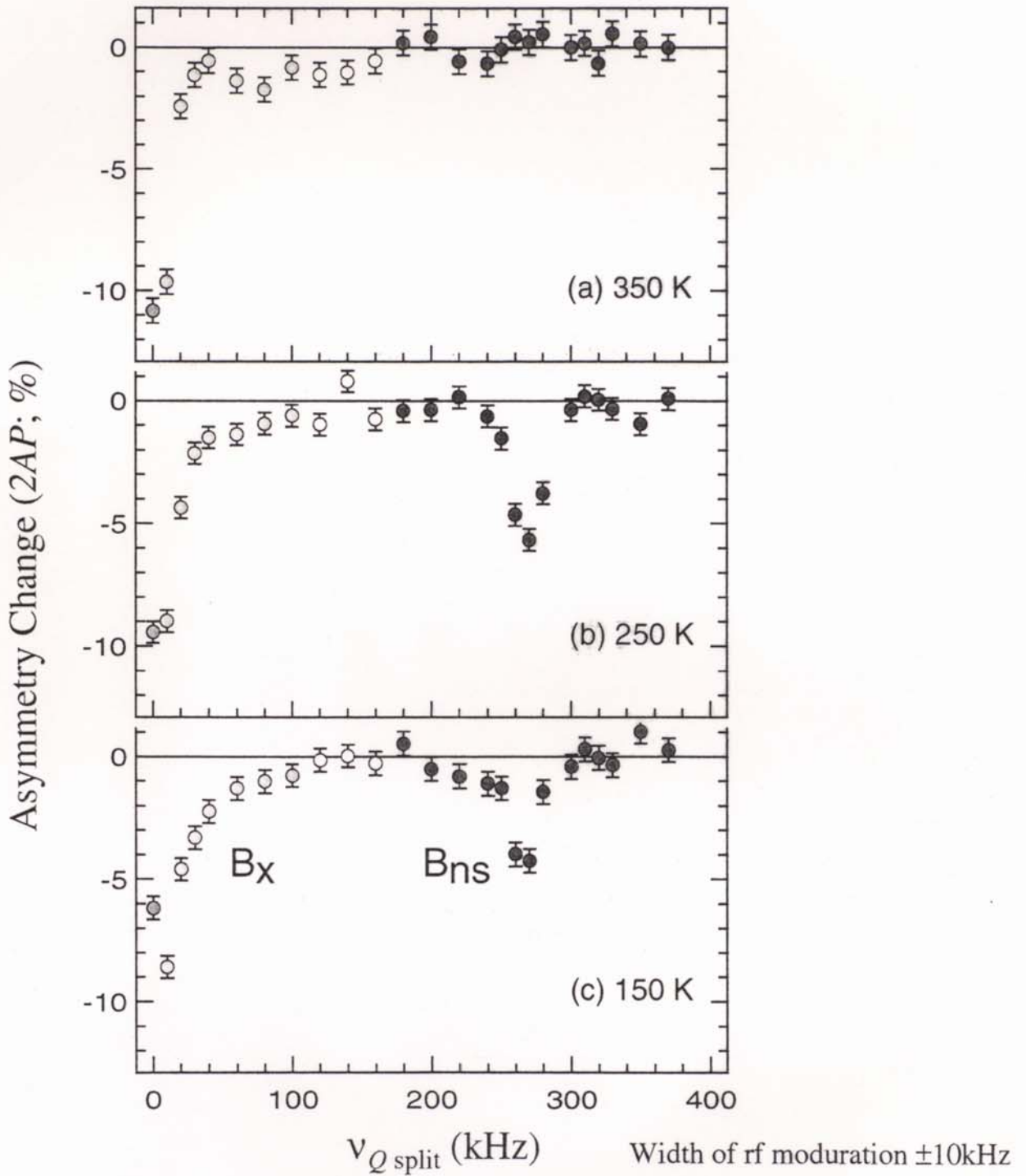
偏極緩和現象と  $^{12}\text{B}$  の運動



# $\beta$ -NQR Spectrum

Sample No. 2  
p-type Si ( $7 \times 10^{17}$  B/cm<sup>3</sup>)

$H_0 = 6$  kOe  
 $H_1 \approx 1$  Oe



3 resonance were observed

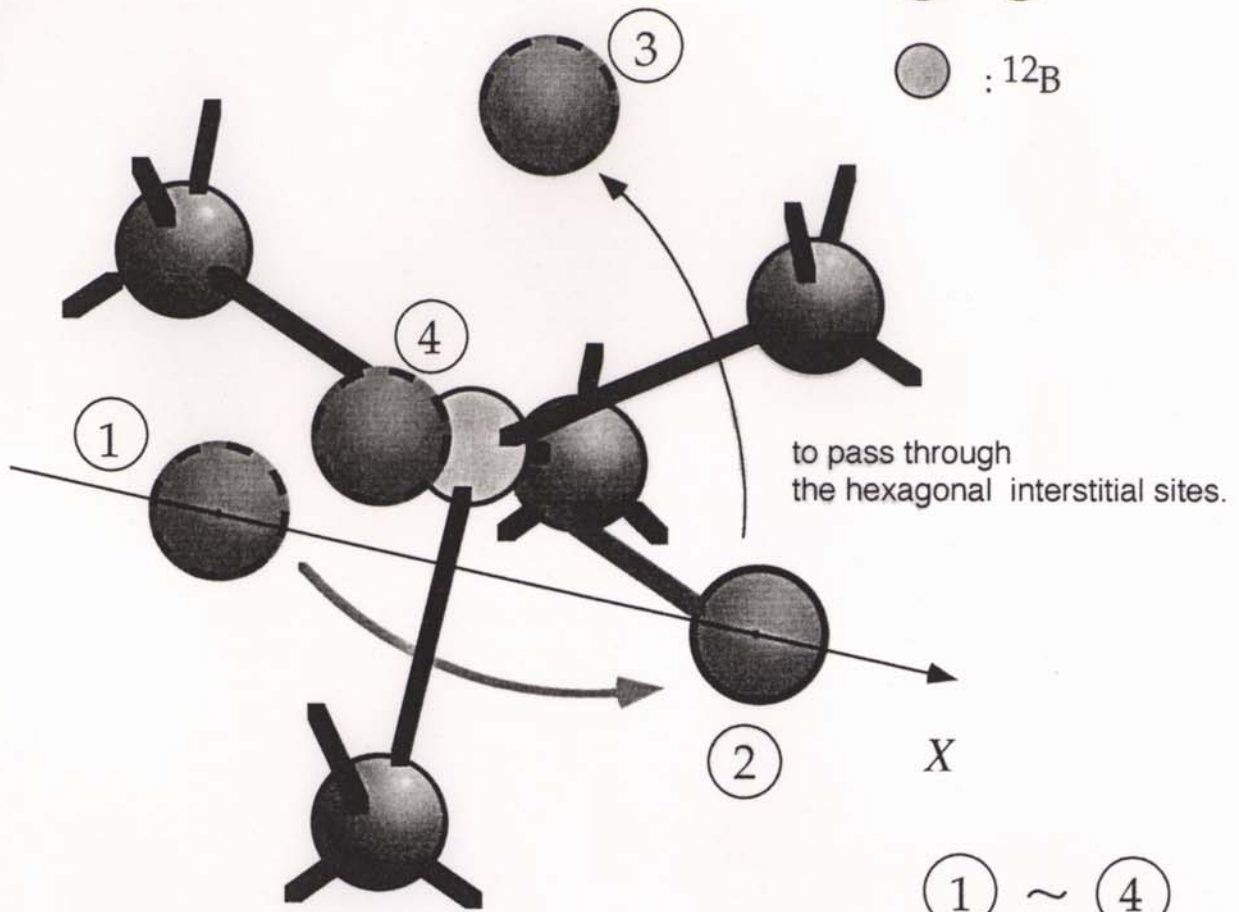
- 1  $eqQ$  split resonance at  $\nu_{Q \text{ split}} = 270$  kHz ( $B_{ns}$ )
- 2 Sharp resonance at  $\nu_L$  ( $B_s$ )  $\delta \sim 0.1$  kHz
- 3 Broad resonance at  $\nu_L$  ( $B_x$ )  $\sim 40$  kHz

$\frac{7}{8}$   
 2000  
 B  
 SS

# The Atomic Jump of B<sub>ns</sub>

● ● Si

○ : 12B



① ~ ④

identical sites

$$\text{Jumping Rate } v = v_0 \exp\left(-\frac{E_a}{kT}\right)$$

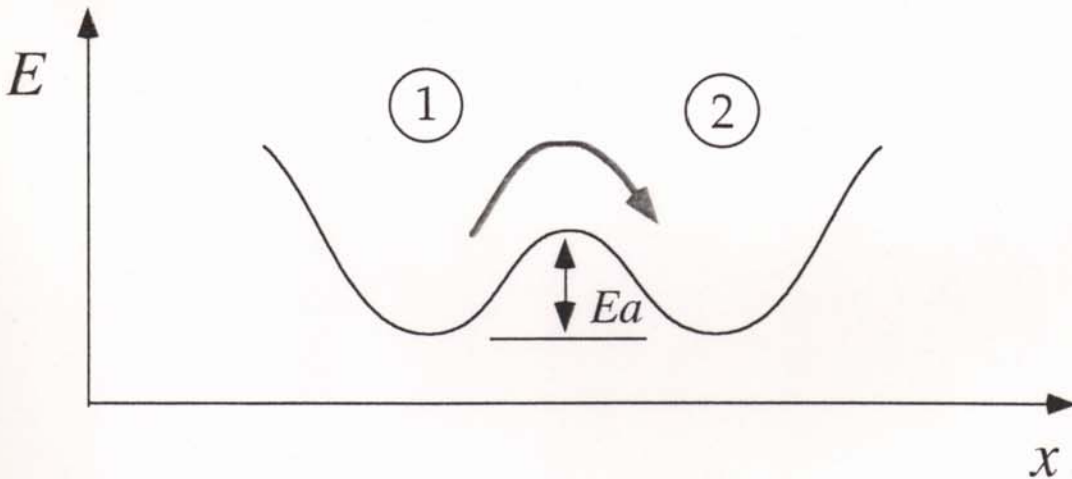


Table 1 Hyperfine magnetic fields in Fe detected by  $^{12}\text{B}$

| Location       | Theory*              |                               | Experiment**         |                    |       | $B_{\text{dip}}$ |
|----------------|----------------------|-------------------------------|----------------------|--------------------|-------|------------------|
|                | $B_{\text{hf}}$ (kG) | $T_1 \cdot T$ (Ks)            | $B_{\text{hf}}$ (kG) | $T_1 \cdot T$ (Ks) | T (K) |                  |
| Substitutional | -0.56                | <u>430</u> $B_{\text{dip}}$   | $-(6.86 \pm 0.01)$   | <u>86</u> $\pm 5$  | 103   |                  |
| Tetrahedral    | -50.7                | <u>1200</u> $\sim 2\text{kG}$ | $-(46.82 \pm 0.01)$  | <u>43</u> $\pm 2$  | 92    | $< 0.1\text{kG}$ |
| Octahedral     | -40.5                |                               |                      |                    |       |                  |

\* M.Akai, H.Akai and J.Kanamori; J. Phys.Soc. Japan 54(1985)4246; ibid. 54(1985)4257.

\*\* Locations were inferred from a comparison of the results of  $^{12}\text{B}$  in V crystal with the present populations to respective locations.

$$B_{\text{obs}} = B_{\text{ext}} + B_L + B_{\text{DM}} + B_{\text{hf}} + B_{\text{dip}} + \frac{\omega_Q}{\gamma}$$

Table I NMR of  $^{12}\text{N}$  in Fe and  $(B_{\text{hf}} + B_{\text{dip}})$  values.

NMR was performed at  $B_0 = 7\text{ kG}$  and  $120\text{ K}$ .

| Center freq. (MHz)           | $(B_{\text{hf}} + B_{\text{dip}})$ (kG) | Sign of $B_{\text{obs}}$ | $\frac{e\gamma Q}{h}$ kHz | $B_{\text{dip}}$ |                |
|------------------------------|---|--------------------------|---------------------------|------------------|----------------|
| $B_0 // \langle 001 \rangle$ | $1.50 \pm 0.02$                         | $-(9.32 \pm 0.06)$       | Positive                  | $\sim 400$       | $\sim 0$       |
|                              | $1.93 \pm 0.02$                         |                          |                           |                  |                |
|                              | $4.76 \pm 0.05$                         | $-(27.88 \pm 0.17)$      | Assumed negative          |                  | $22\text{ kG}$ |
|                              |   | $-(0.60 \pm 0.17)$       | Assumed positive          |                  |                |
| $B_0 // \langle 011 \rangle$ | $1.40 \pm 0.05$                         | $-(9.50 \pm 0.11)$       | Positive                  |                  |                |
|                              | $1.90 \pm 0.05$                         |                          |                           |                  |                |
|                              | $3.78 \pm 0.04$                         | $-(25.09 \pm 0.14)$      | Assumed negative          |                  |                |
|                              |   | $-(3.39 \pm 0.14)$       | Assumed positive          |                  |                |

Theory

$B_{\text{hf}}$  Octahedral }  
 Tetrahedral } -75 kG No Lattice expansion  
 Substitutional +50 kG

Two locations : strange!  
 1.  $B_{\text{dip}} \sim 0$   $\frac{e\gamma Q}{h} = 400\text{ kHz}$   
 2.  $B_{\text{dip}} \neq 0$   $\neq 0$

# Hyperfine field Bert + Spin Lattice Relaxation time

J. Kanumori, K. Terakura + H. Yoshida

$$H_{hf} = (8\pi/3)\mu_B (\bar{P}_s^\uparrow - \bar{P}_s^\downarrow) = 5.242 \times 10^2 (\bar{P}_s^\uparrow - \bar{P}_s^\downarrow) \text{ kG}$$

$$\bar{P}_s^\sigma = \int^{E_F} P_s^\sigma(0, E)$$

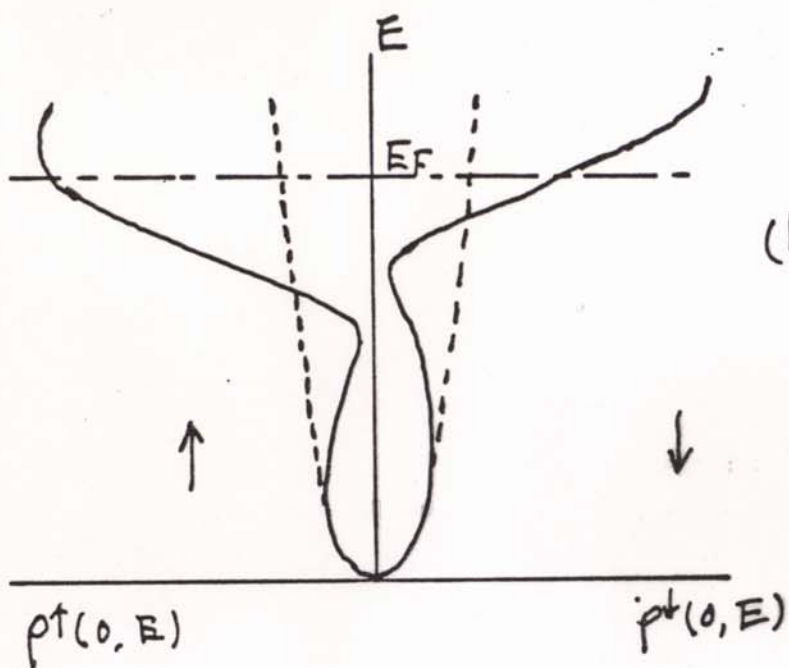
$$T_1 \cdot T = (64\pi^3 k / 9\hbar) (e\gamma_N \hbar^2)^2 P_s^\uparrow(0, E_F) P_s^\downarrow(0, E_F)$$

$$= 2.432 \times 10^2 (\mu_B)^2 P_s^\uparrow(0, E_F) P_s^\downarrow(0, E_F) \text{ sec. deg.}$$

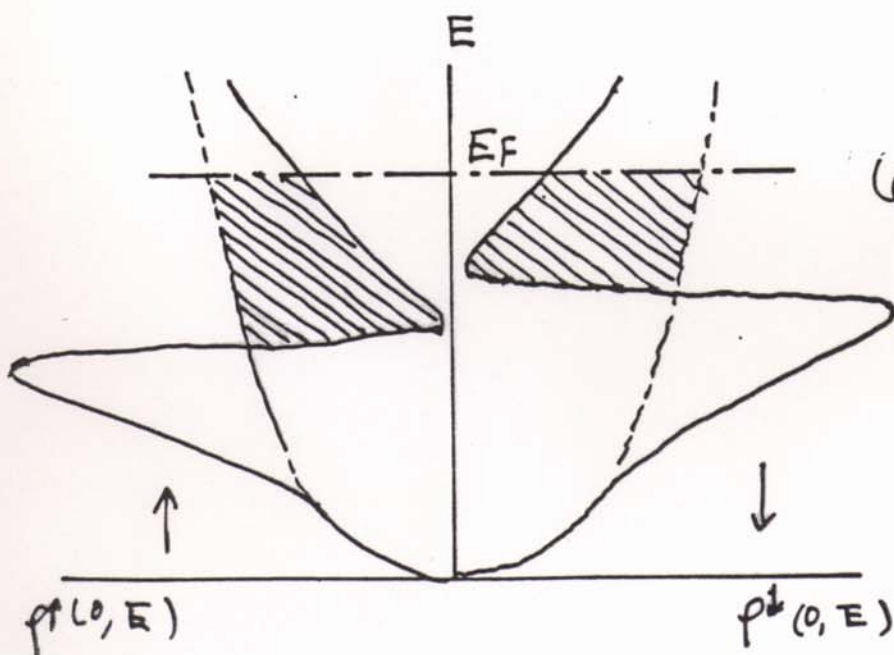
J. Phys. Soc. Japan 46 (1979) 822

by K. Terakura  
ISSIP SerA 965

(b) Shallow impurity 1979



ESSENTIAL 12  
s-d Mixing 重要  
これに Trigger LTR!

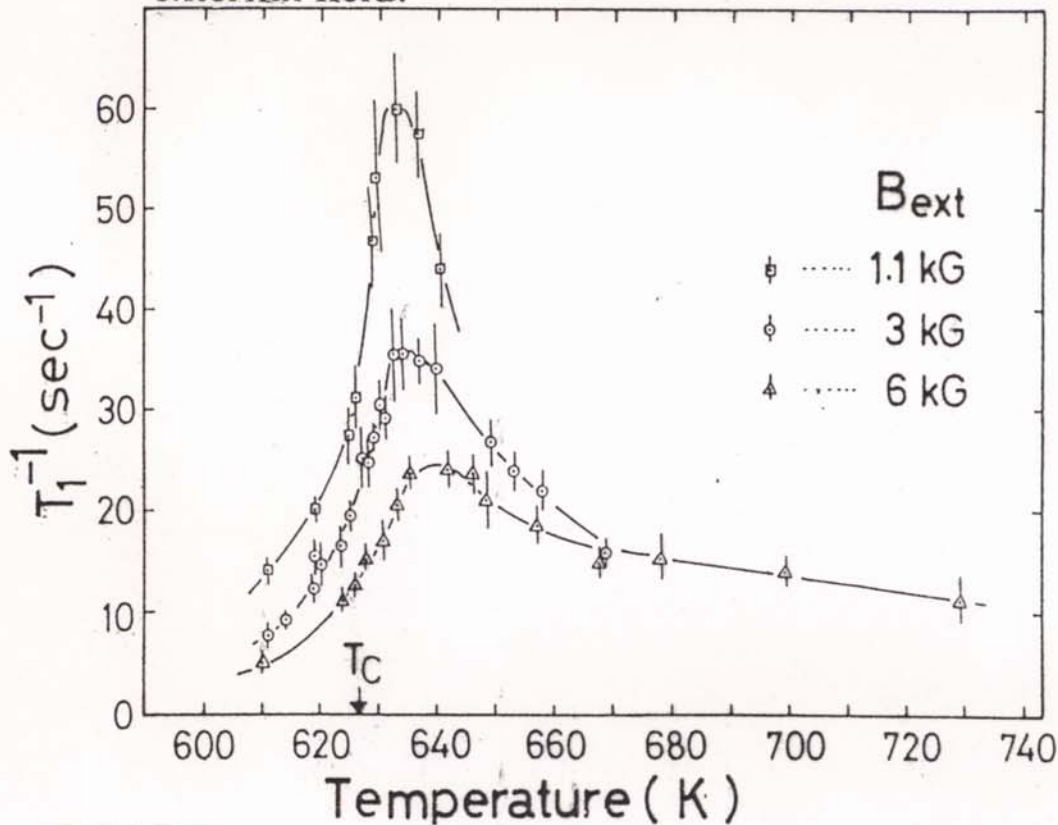


(a) deep impurity

Cf.  $^{12}\text{B}$  in Ni; Proof for the Electron itinerancy

Critical Phenomena;  $T_1^{-1}(T)$  at  $T_C$  with Octah. Location(T) of  $^{12}\text{B}$ ;  
 H. Hamagaki, Y. Nojiri, K. Sugimoto, & K. Nakai; J.P.S.J 47 (1979) 1806

Fig. 10. Spin-lattice relaxation times of  $^{12}\text{B}$  at the  $\text{S}^-$  site around  $T_C$  with three different settings of the external field.



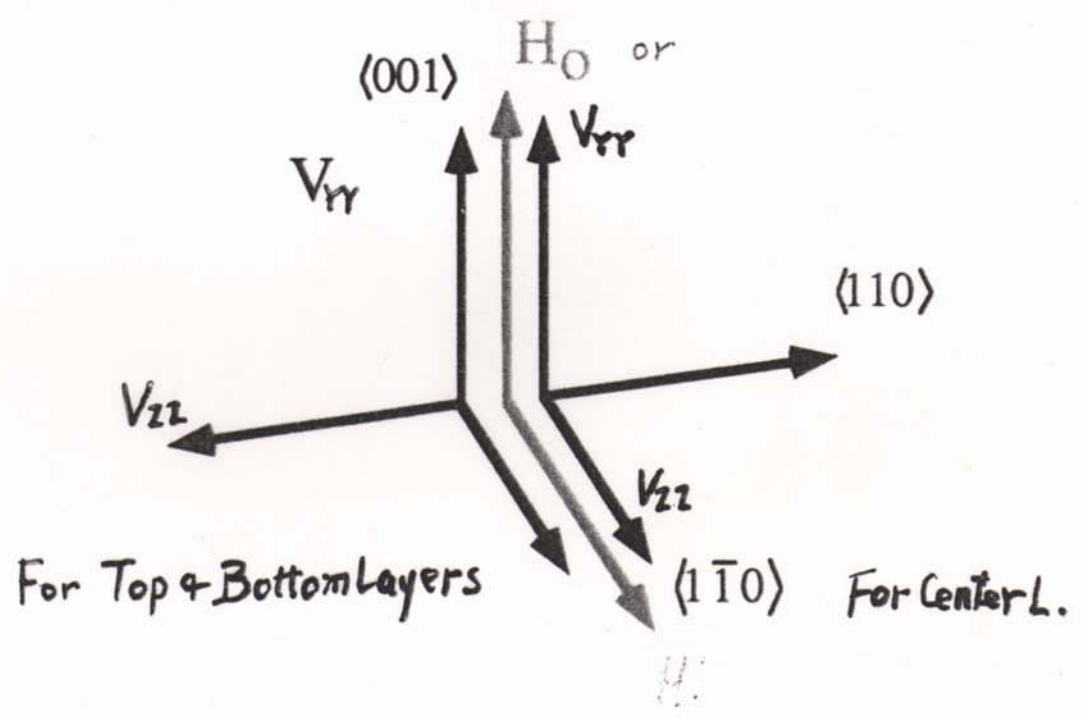
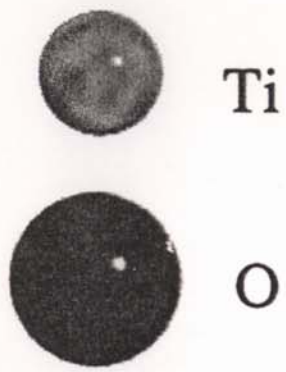
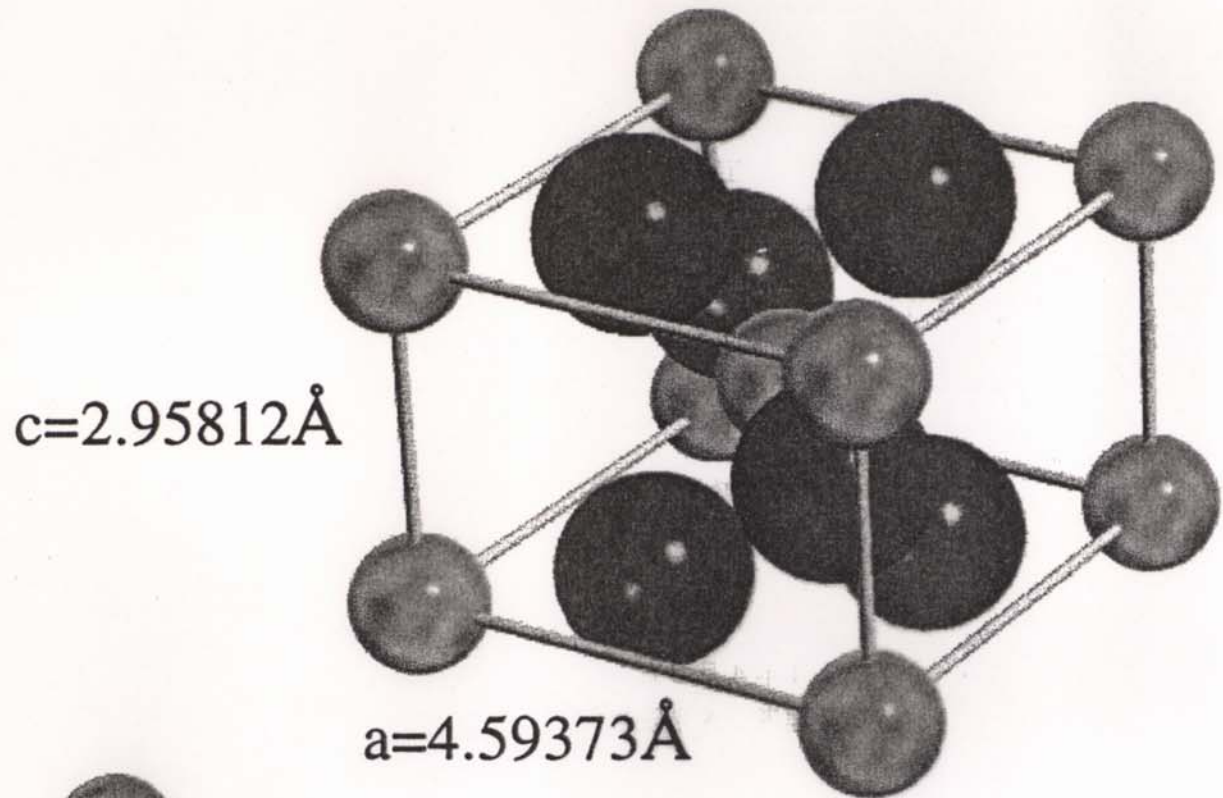
|                              | $n$             | $n'$            | $\nu$           | Ref.      | Comments   |
|------------------------------|-----------------|-----------------|-----------------|-----------|--|
|                              | $\sim 2/3$      |                 |                 | 27)       | Ni, ESR line width   |
|                              | $1.44 \pm 0.37$ |                 |                 | 28)       | Neutron scattering   |
|                              | $0.70 \pm 0.03$ |                 |                 | 29)       | $\text{Ni}^{100}\text{Rh}$ , perturbed angular correlation |
|                              | $\sim 0.7$      |                 |                 | 30)       | $\mu^+$ SR in Ni   |
|                              | $0.71 \pm 0.24$ |                 |                 | 31)       | $\text{Ni}^{57}\text{Fe}$ , Mössbauer line width           |
|                              | $0.62 \pm 0.13$ |                 |                 | 32)       | $\text{Fe}^{57}\text{Fe}$ , Mössbauer line width           |
|                              |                 | $0.67 \pm 0.08$ |                 | 24)       | $\text{Ni}^{61}\text{Ni}$ , NMR                            |
|                              |                 |                 | $0.54 \pm 0.10$ | this work | $\text{Ni}^{12}\text{B}$ , recoil-implanted NMR            |
| Heisenberg (MH) model        | 1.97            |                 | 0.34            | 33)       |  |
| Moriya-Kawabata (MK) theory* | 1.31            | 0.77            | 0.46            | 36)       |  |

\* Developed for weak ferromagnetism in metal.

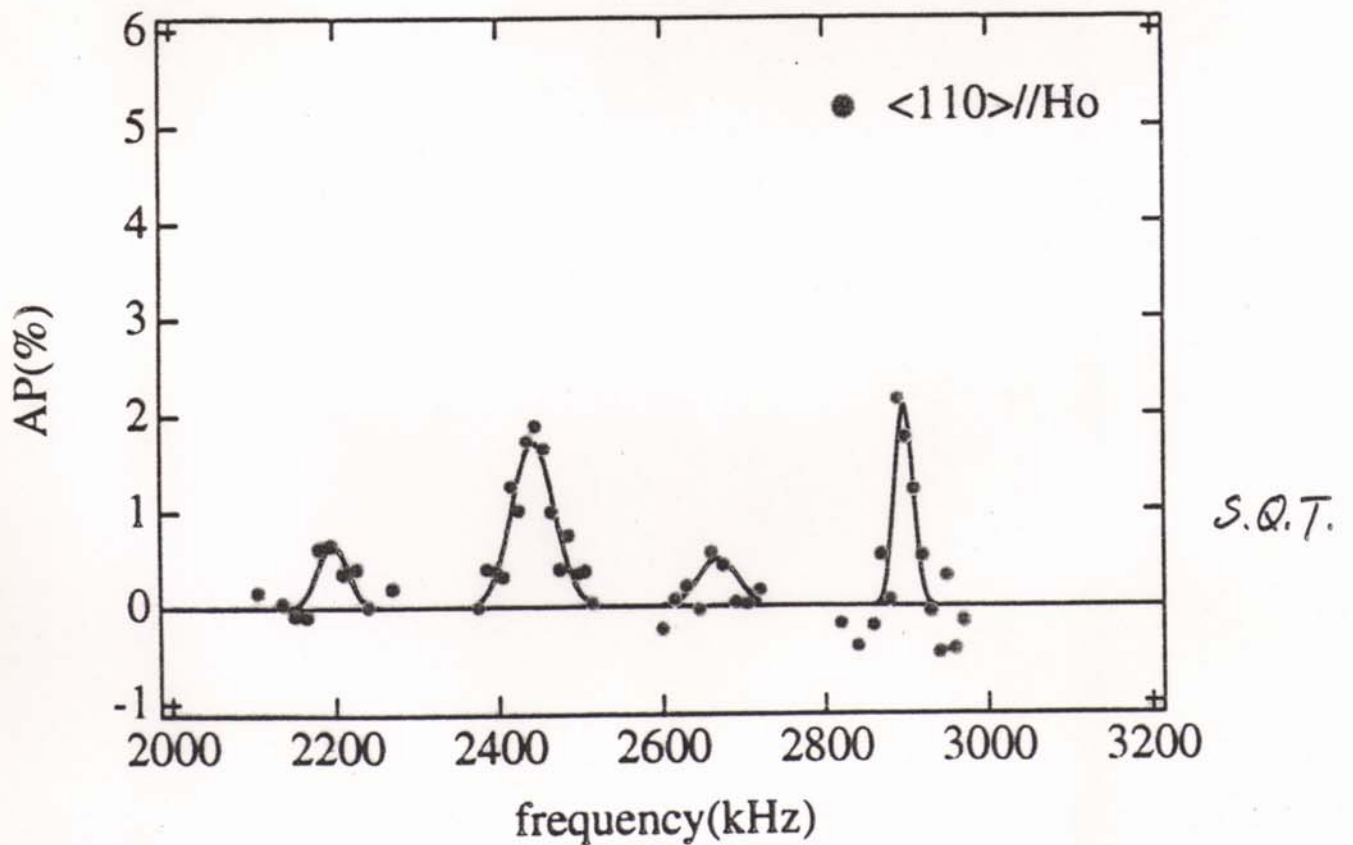
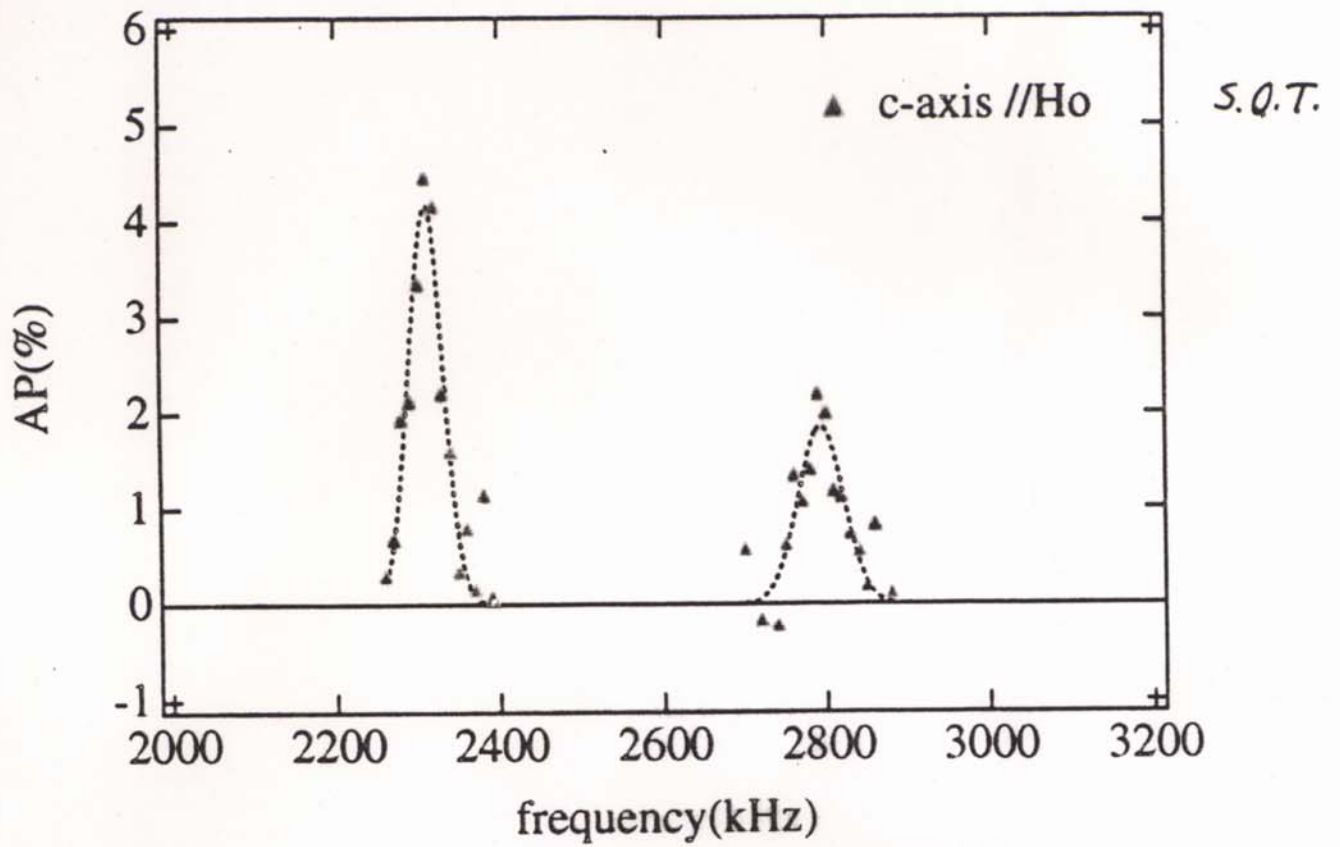
Indices:  $T_1^{-1} \propto B_{\text{ext}}^{\nu}$  Expt. ;  $\nu = 0.54 \pm 0.10$   
 $T_1^{-1} \propto (T - T_C)^n$  at  $T > T_C$   
 $T_1^{-1} \propto (T - T_C)^{n'}$  at  $T < T_C$

Itinerancy in Ni 証明!

# $\text{TiO}_2$ (rutile)



Site1 50% population.

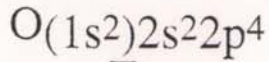
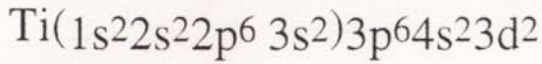


#### 4. Band calculation based on KKR

Super lattice: too much dense impurities.

Lattice relaxation: Total energy of S.L. minimum.

Electronic configuration:



← Localized & Spherical: contr. to  $q$  is small.

Assumed Substitutional of O:  $\text{N}^{1-}$  ← neutrality +1

Substitutional of Ti:  $\text{N}^{1+}$  ← neutrality -1

Interstitial Octahedral;  $\text{N}^{1-}$  and/or  $\text{N}^{1+}$

Assumed Maffin Tin Sphere(MT); Observed sphere depend. *in the Calc.*

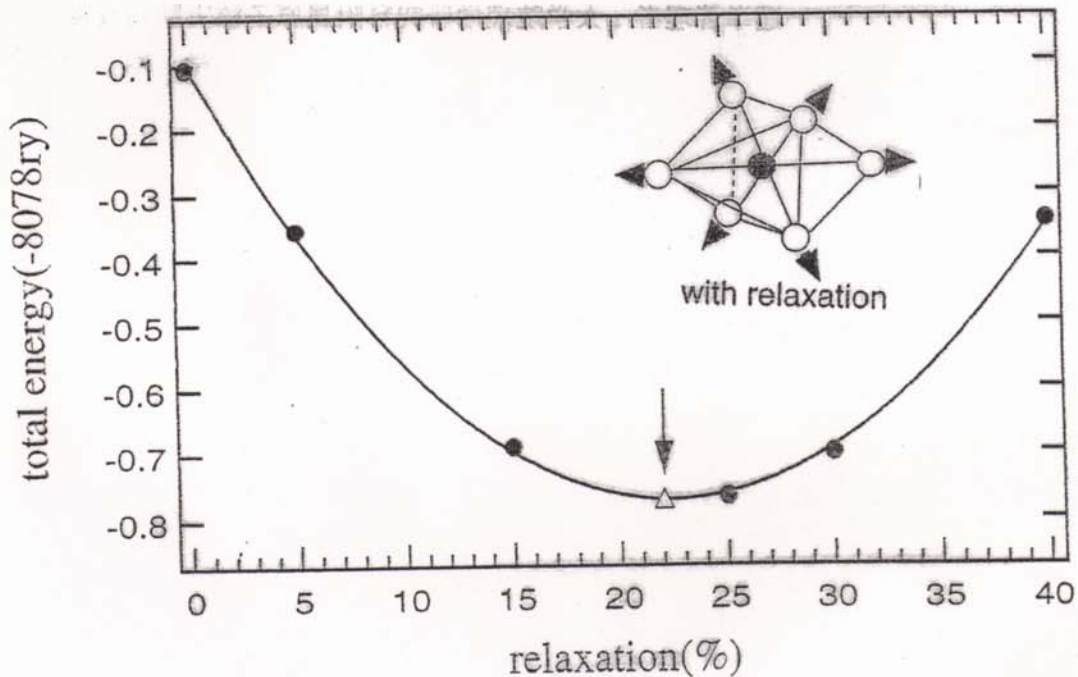
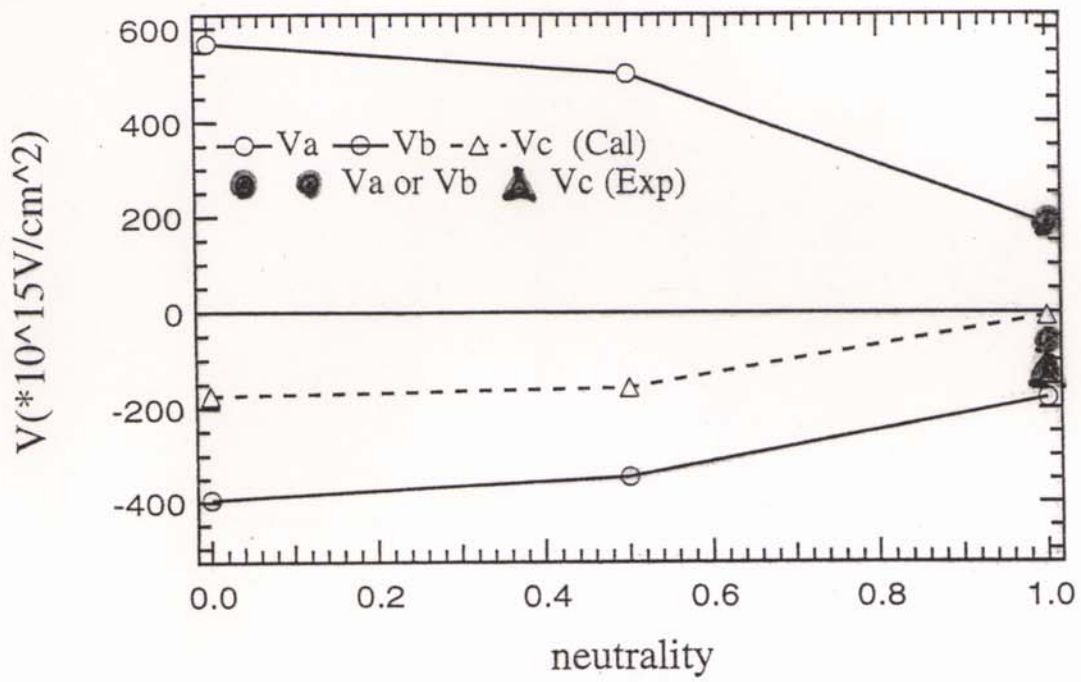
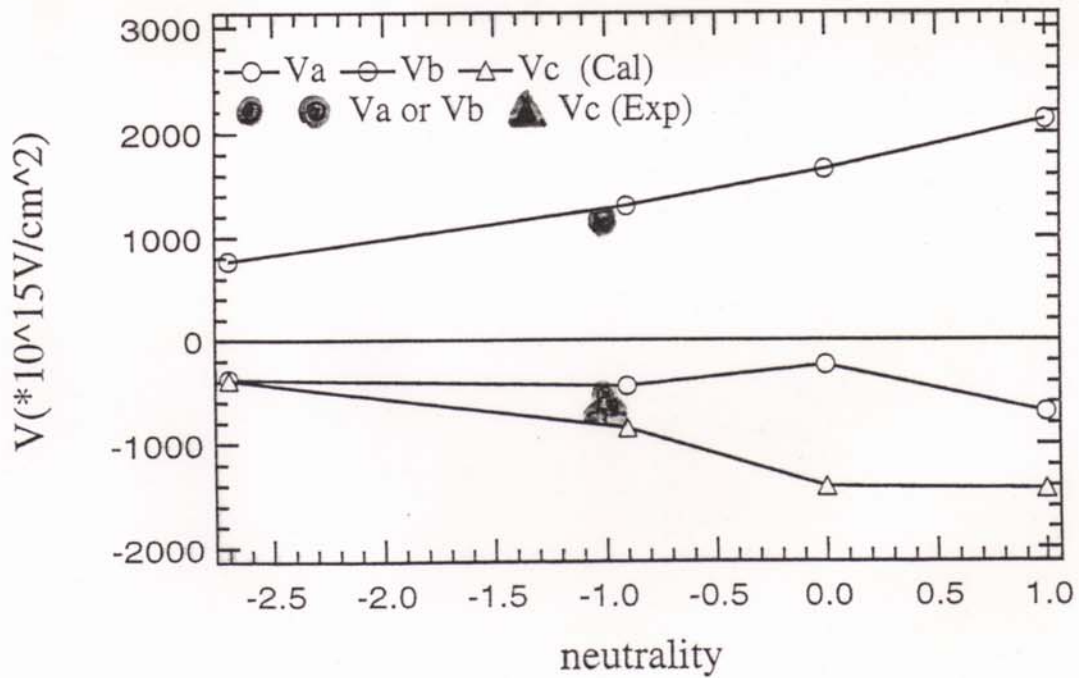


図 5.4: 格子緩和に対する全エネルギーの変化 (Octahedral 位置)  
*Interstitial site*



$\circ$  substitutional site

図 5.7:  $\circ$  位置における電場勾配



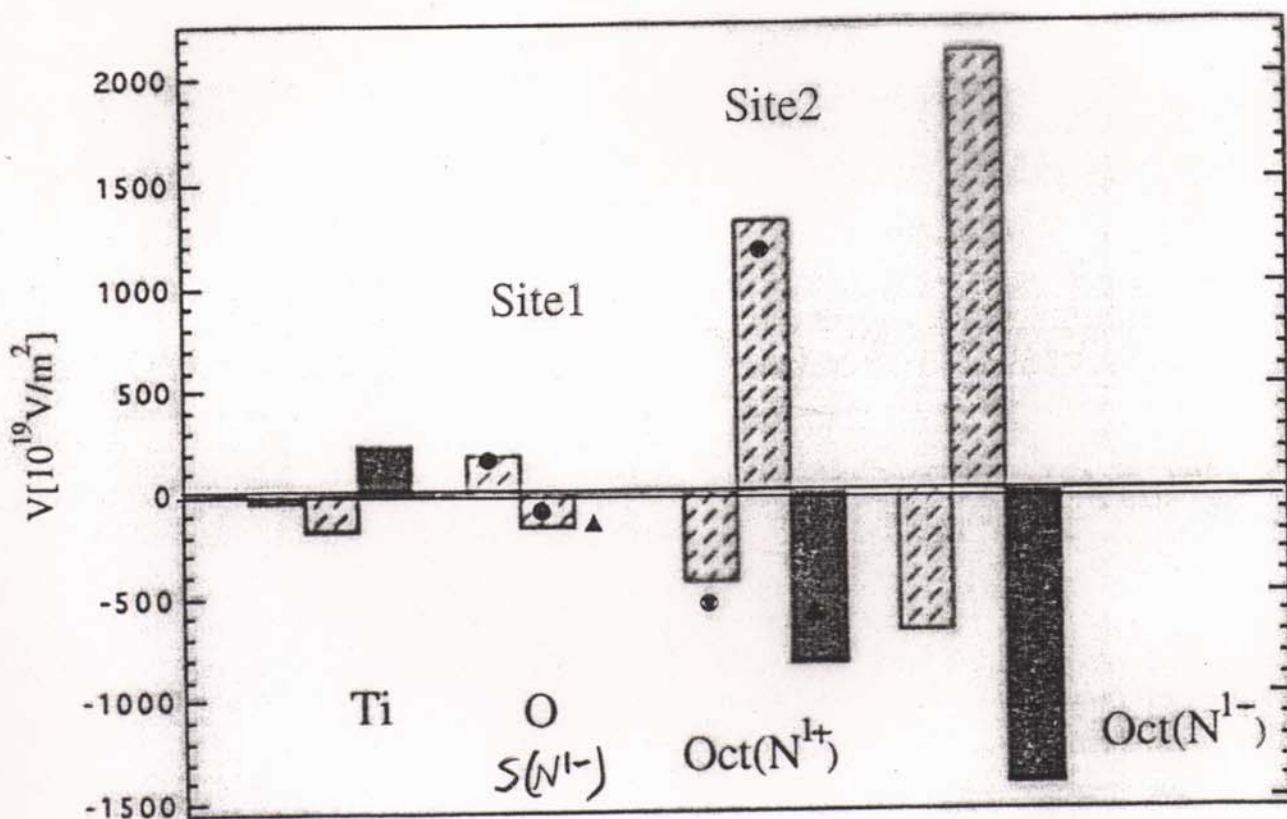
Octahedral site

図 5.8: Octahedral 位置における電場勾配

Comparison of Exp. Data with Th.

実験値と計算値との比較

| Exp.   | 実験値                                    | $V_a$ or $V_b$                     |       | $V_c$ |
|--------|--|------------------------------------|-------|-------|
|        | Site1                                  | $\mp 59(4) \pm 188(13) \mp 129(9)$ |       |       |
| Site2  | $\mp 558(68) \pm 1160(79) \mp 602(41)$ |                                    |       |       |
| Theory | 計算値                                    | $V_a$                              | $V_b$ | $V_c$ |
|        | $Ti(N^{1+})$                           | -46                                | -192  | +239  |
|        | $O(N^{1-})$                            | +185                               | -178  | -6    |
|        | $Oct(N^{1+})$                          | -449                               | +1304 | -855  |
|        | $(N^{1-})$                             | -696                               | +2124 | -1429 |



### How much the polarization maintained & $Q$ ?

| Nuc.             | $I$ | $T_{1/2}$ | Catcher                            | $P/P_0$ (%) | $Q$ (mb)          | Ref   |
|------------------|-----|-----------|------------------------------------|-------------|-------------------|---|
| $^8\text{Li}$    | 2   | 0.84 s    | $\text{LiIO}_3, \text{LiNbO}_3$    | 30          | 32.7(6)           | PRL 69(92)2058  |
| $^8\text{B}$     | 1   | 0.77 s    | Mg                                 | 100         | 68.3(2.1)         | PRL 69(92)2058  |
| $^{12}\text{B}$  | 1   | 21 ms     | BN, $\text{TiB}_2$ , Mg            | 30          | 13.21(26)         | PRL 69(92)2058  |
| $^{12}\text{N}$  | 1   | 11 ms     | BN                                 | 30          | +9.8(9)           | PL B420 (98) 31   |
| $^{17}\text{F}$  | 5/2 | 64.5 s    | $\text{MgF}_2,$<br>$\text{CaF}_2$  | ~100<br>~50 | 100(20)<br>58(4)  | NP A236(74)416<br>JPSJ21(66)213<br>NP A236(74)416<br>PR 48(93)12672 |
| $^{21}\text{F}$  | 5/2 | 4.16 s    | $\text{MgF}_2, \text{NaF}$         | ~100        | 110(22)<br>71(16) | HFI 120(99)673<br>JPSJ21(66)213<br>HFI 120(99)673<br>PR 48(93)12672 |
| $^{23}\text{Mg}$ | 3/2 | 11 s      | $\text{TiO}_2, \text{MgF}_2,$      | 30          | 115(8)            | HFI 120(99)673  |
| $^{27}\text{Si}$ | 5/2 | 4.16 s    | $\text{Al}_2\text{O}_3, \text{Si}$ | 100         | 58(4)             | PRL Submit.   |
| $^{39}\text{Ca}$ | 3/2 | 0.6 s     | KBr, $\text{KCaBr}_3$              | ~50         | 36(7)             | To be published   |
| $^{41}\text{Sc}$ | 7/2 | 0.54 s    | CaO                                | 50          |                   |   |

|                  |     |        | Sites          |    |     |                           |
|------------------|-----|--------|----------------|----|-----|---------------------------|
| $^8\text{Li}$    | 2   | 0.84 s | $\text{TiO}_2$ | 1  | ~25 | '02 M.Thesis Ogura        |
| $^{12}\text{B}$  | 1   | 21 ms  | $\text{TiO}_2$ | 2P | 100 | '02 M.Thesis Ogura        |
| $^{12}\text{N}$  | 1   | 11 ms  | $\text{TiO}_2$ | 2  | 100 | ZN 53a(98) 293            |
| $^{16}\text{N}$  | 2   | 7.13 s | $\text{TiO}_2$ | 2  | 100 | 17.9(1.7) PRL 86(01)3735  |
| $^{13}\text{O}$  | 3/2 | 0.86 s | $\text{TiO}_2$ | 2  | 100 | 11.0(1.3) PL B549 (99) 81 |
| $^{19}\text{O}$  | 5/2 | 26.9 s | $\text{TiO}_2$ | 2  | 100 | 3.7(4) PL B457 (99) 9     |
| $^{41}\text{Sc}$ | 7/2 | 0.54 s | $\text{TiO}_2$ | 1  | 100 | -156(3) ZN 53a (98) 549   |

#### 4. 最近のトピックス

自然科学の基礎研究

医学・工学への応用

環境やエネルギー

各分野への貢献大

#### ナノ構造：

フラーレン；アルカリ金属植え込みによる超伝導物質化

ゼオライト；ナノ構造材料の配列保持在、、、

非磁性金属ナノ粒子の Cubic 集合；強磁性発現

クラスター：スペクトル、分裂、内包クラスター

ネオマックス 最強永久磁石； $\text{Nd}_2\text{Fe}_{14}\text{B}$ ,  $\text{B} \Rightarrow \text{N}$  化合物

弱強磁性； $\text{MB}_x$ ,  $\text{CaB}_6$  (非磁性原子化合物)

重い電子系と磁気； $\text{CeM}_{1-x}\text{B}_6$ ； $\text{M} = \text{Nd}, \text{La},,$

磁性半導体； $(\text{Ga}, \text{Mn})\text{As}$ ,  $(\text{In}, \text{Mn})\text{As}$ ,  $(\text{Cd}, \text{Mn})\text{As}$

$(\text{Al}, \text{Mn})\text{N},,,,$

高温超伝導材料  $\text{La}_{2-x}\text{Sr}_x\text{CuO}_4$ ,  $\text{YBa}_2\text{Cu}_3\text{O}_7$ ,  $\text{Tl}_2\text{Ba}_2\text{CuO}_{7+y}$ ,

B の電子状態； $\text{MgB}_2$ ,  $\text{AlB}_2$ ,

$H_c$  改良 (重イオン照射による)；損傷部 非超、、

電子状態の層間不均一性

不純物効果

ステンレス鋼の放射線損傷・焼鈍；炉材料 (耐性)

液体金属標的窓；核反応高強度中性子発生

ビームタイム例：南園グループビームタイム実績 一外部実験のリスト  
放医研 HIMAC

1999 ~200 hr 4/12-13, 7/20-25, 10/14-18

2000 ~140 hr 6/17-20, 6/30-7/2, 12/5-7

2001 ~240 hr 5/11-14, 7/26-28, 11/22-24, 11/30-12/3, 12/20-23

理研リングサイクロ

1999 ~100 hr 3/9-12

2000 ~200 hr 5/4-7, 7/25-31

2001 なし

### 理研リングサイクロの実験サポート上の特徴

- 1) Ca までのイオン;  $E_{\text{proj}} \sim 135 \text{ MeV/u}$   
Ca 以上  $E_{\text{proj}} < 135 \text{ MeV/u}$  可
- 2) ビーム強度大;  $I(\text{O}) \sim 200 \text{ pA}$   
Metal Ion; Ca 位まで  $I(\text{M}) \sim 20 \text{ pA}$
- 3) RIPS(大 Acceptance) 完備。  
Control Program 完備; 実験者がほぼ自由に設定  
(Hard 面も Full support でない。)
- 4) PAC 厳格; 拘物理的意味、PAC を納得させ得ない。  
(自然、Dripline 近傍核に集中)
- 5) 非核 PAC; 核物性を提案可。
- 6) 旅費は理研側が支給。  
実験費用: 理研研究グループ に主にお問い合わせする。
- 7) ビームタイム要求多い。  
RIPS 使用実験; 別途調整も必要。
- 8) ビームタイム計算 = On target 時間  
PAC で認可後 2 年以内に消化  
予定より早く、長くビームをもらえる。  
多少の延長可; ビーム調整別途取るから!
- 9) 宿舎清潔、長期滞在にはちょっと費用高い。  
部屋数が少ない。
- 10) 工作施設有、整備増強望む。
- 11) 電子・電気部品室有。
- 12) 電子回路モジュールプール有り。
- 13) 実験技術的改良、理研内共同研究者と一緒に進める。

## 放医研 HIMAC の実験サポート上の特徴

1) 重イオン;  $E_{\text{proj}} \sim 400 \text{ MeV/u}$  まで出せる唯一の国内施設。  
ビーム種開発段階; 相談が要る。

2)  $I_{\text{proj}} \sim I_{\text{cyclo}}/100 = \sim 10^9 \text{ pps}$ ; ( $\sim 0.1 \text{ pA}$ )

3) RIPS 完備 (アクセプタンス 中位)

Control Program; 実験者にも解放、放医研側の助必要。

ハード部分は Full support

4) 週日昼間は癌治療に使用; 夜と週末に基礎研究用

5) 入射器は 2 Rings へ完全スイッチング可

生物実験 (上 Ring)、物理実験 (下 Ring); 同時進行

癌治療は下 Ring 主 = 物理実験は同時には不可

6 MeV/u も使用可

6) PAC は比較的和やか。

有物理的意味; 成果をあげれば PAC を納得させ得る

安定線に近い核をも対象可

(ビーム強度比較的弱; 必然的)

7) 非核分野 (PAC); 核物性、工学、加速器、医学・生物

8) 旅費; 放医研支給、実験費も申請可 (高額の備品等可)

9) 最近核関係; 南園 (阪大)、小林 (東北)、鈴木 (新潟)、  
郷農 (最近少)、村上 (京大) 等と少ない。

10) PAC は 1 年単位

認可年内に消化、ビームタイム計算; マシン占有時間 (調整込)

調整時間は短い、また

ビームタイム計算はそんなに厳格ではない、

PAC 認可後; Scheduling で決まる、延長等は不可

11) 宿舎は快適、部屋数は多い

放医研全体の使用; 研修等が有る時は、注意!

12) 工作施設が有るが、整備必要

13) 電子・電気部品部屋が有り

14) 電子回路モジュールプール最近充実、十分でないこと有り

15) 実験の技術面は AEC (加速器サポート会社要員) の補助  
+ 所内対応者の責任あるサポート

————RCNP————

以下の条件が有れば実験できる。

1) A = 40 位までの重イオンを研究対象；将来は鉄ビームまで！  
ビーム種は相談しながら決める

2) PAC；「RCNP でなければできない実験」でなく、  
「RCNP で十分効率良くできる実験」  
(すでにそうなっているかもしれませんが。)

ユニークなマシンや実験設備は重要！

+マシン存在理由；ビームタイム潤沢に必要な実験も多有る。

実験がユニークなら；

「マシンを十分に活かせる」！

「マシンが近いから」でも良い！

海外は行きにくいし、

RCNP の重イオンビーム一流である

強度、セパレータのアクセプタンスは理研に及ばないが

3) 利用者とのパイプ役が欲しい。

理研；重イオン主体＝内部に共同研究者容易

放医研は必ずパイプ役（所内対応者）を付ける

技術的なことは専任のAECがいる

RCNP 内部に通じる若い共同研究者か

パイプ役の教官・技官が立上げ時に必要

4) 旅費は必要

さらに、以下があればもっと良い。

5) 非核分野に別枠のビームタイム

6) 実験費用を申請できる。（含実験装置）

7) セパレータ運転環境（ソフト・ハード・サポート）を整備

ハードのレベルアップも

8) 機械工作室、電子工作室

9) 重イオンビーム種・および強度のレベルアップ

## 7. Concluding Remarks.

- 1) Spin polarized unstable ( $T_{1/2} \sim 1$  s) nuclei are produced.  
Low-Energy nuclear reaction and  
high-energy heavy-ion projectile fragmentation.  
On-Line Isotope Separator.  
Post accelerat. of T. Frag. and artif. pol. is promising.
- 2) NMR Line Shape in Metal; N-N Dipolar Int.  
in Ionic Crystal; N. Quadrupole Int. due to def. & ions.
- 3) The implanted atoms are located in  
Substitutional and/or  
Interstitial sites with Loca Lattice relaxed.
- 4) Theoretical prediction of  $B_{hf}$  &  $q$  were given by the *ab initio* band structure calculation in the framework of KKR with a lattice relaxation and  
a shifted Fermi level (charge neutrality)  
in the adopted super-cell;  
Explained experimental data well, but still further  
theoretical improvements in handlind pot. are required
- 5) New materials can be designed using the disclosed  
Electronic structures of crystals and dilute impurities.  
World strongest permanent magnets!  
High- $T_c$  Superconductors.
- 6) Spin Dewers can be designed;  
 $TiO_2$  crystal is a good Spin Dewer.